

# **Point Processing & Modeling**

# Processus d'acquisition de géométrie

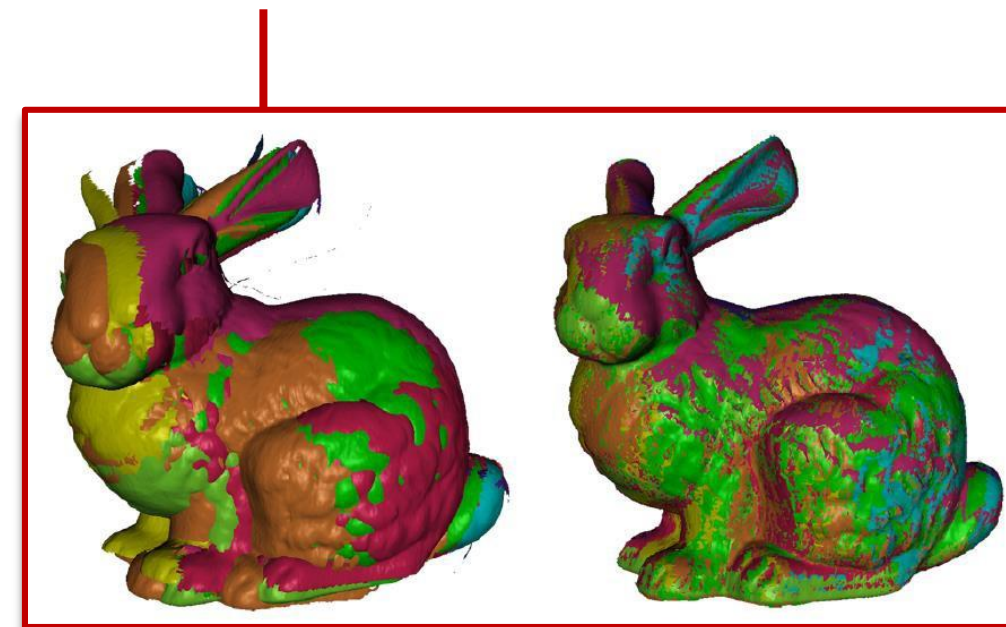
**Scan :**  
nuages de points

**Recalage :**  
tous les scans  
dans le même  
système de  
coordonnées

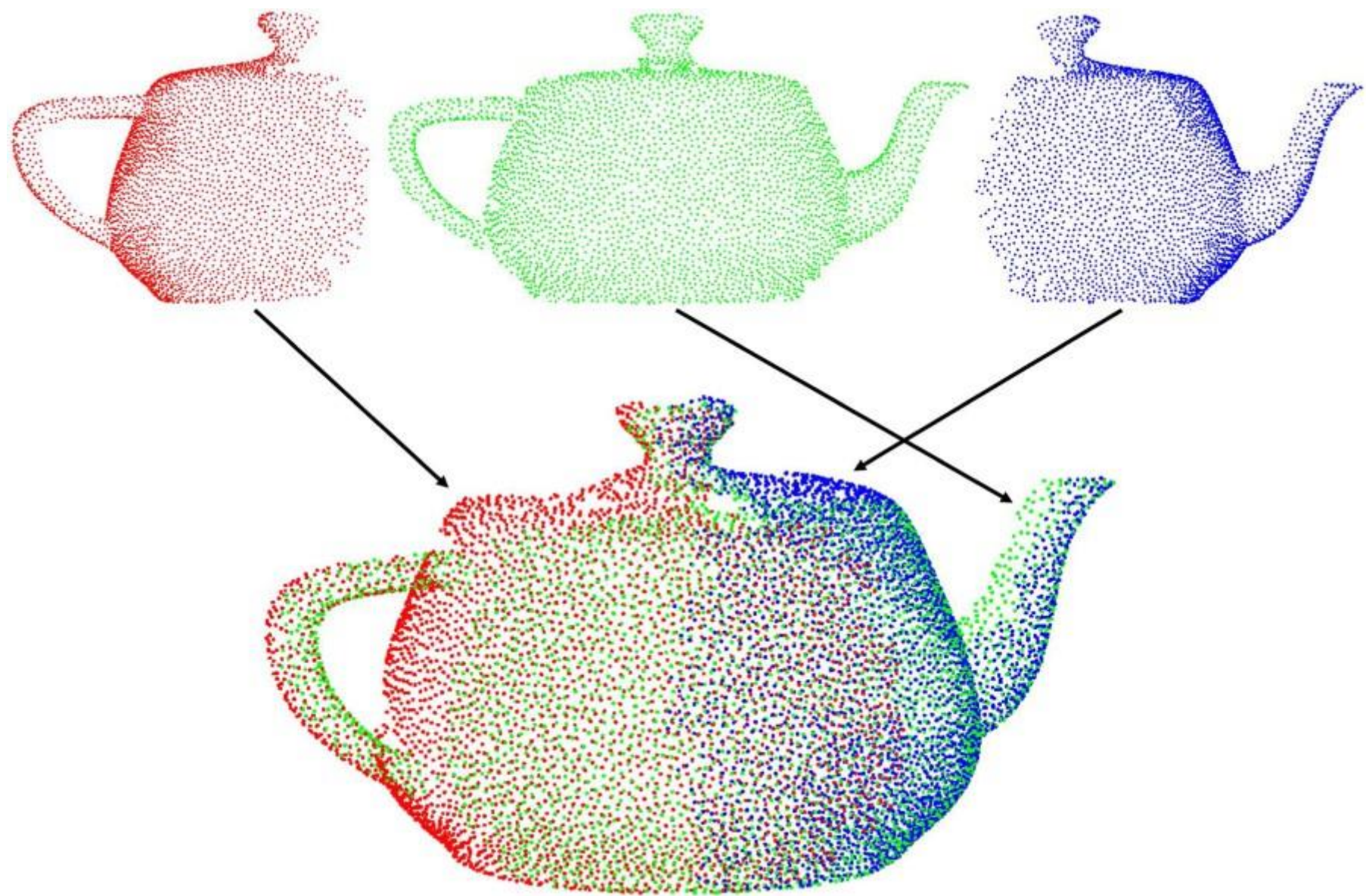
**Reconstruction :**  
Intégration des scans dans  
un seul maillage

**Postprocess:**

- Filtrage géométrique et topologique filtering
- Remaillage...



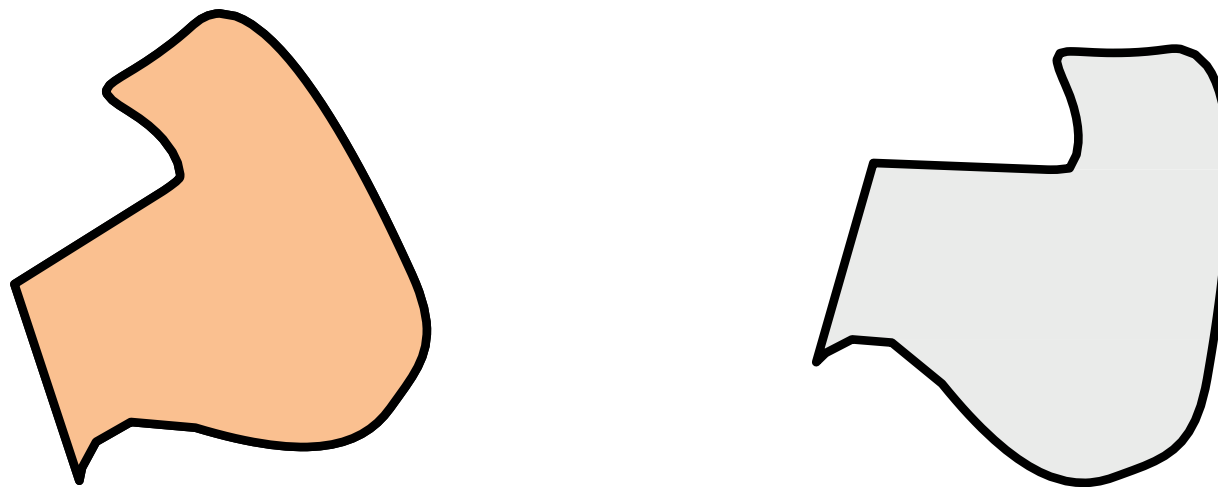
# Pourquoi ?



# Problème

$M_1$

$M_2$



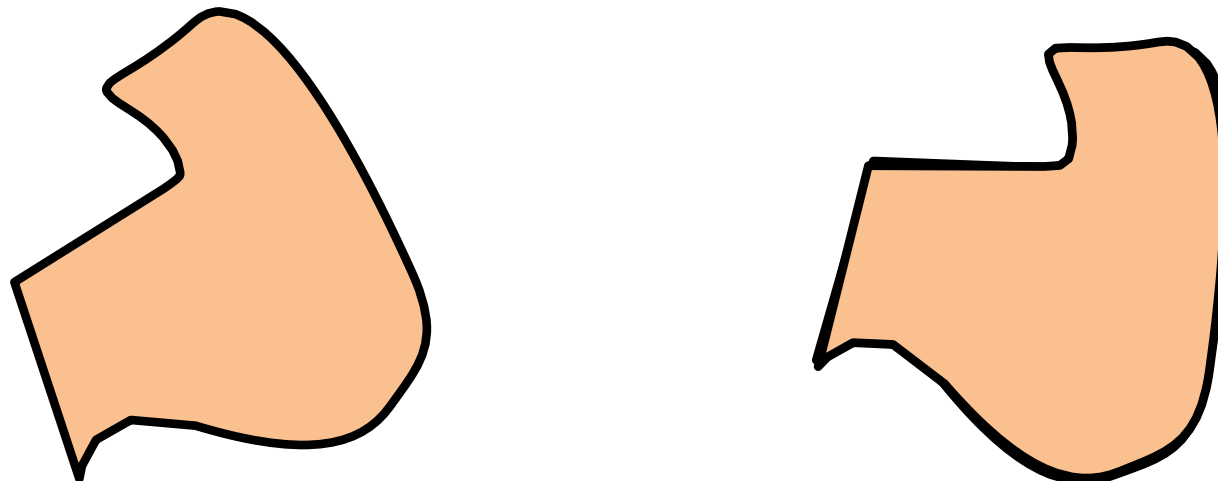
$$M_1 \approx T(M_2)$$

$T$ : Translation + Rotation

# Problème

$M_1$

$M_2$

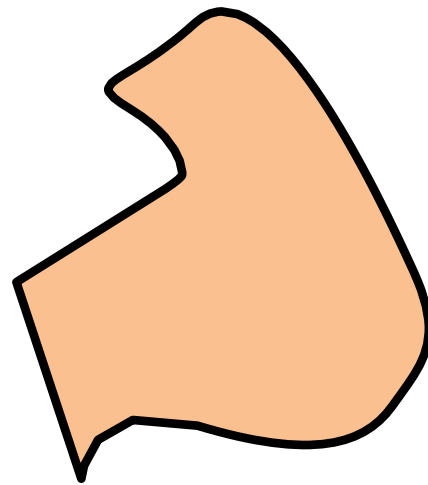


$$M_1 \approx T(M_2)$$

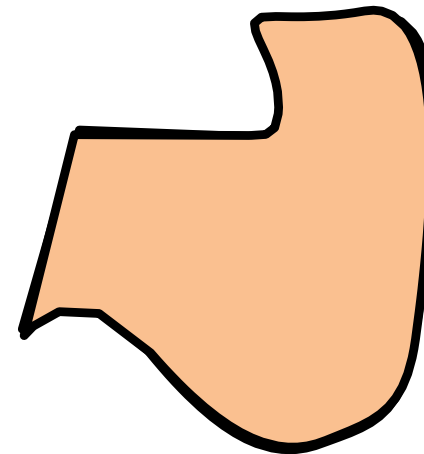
$T$ : Translation + Rotation

# Problème

$M_1$



$M_2$



Pour  $M_1, \dots, M_n$  trouver  $T_2, \dots, T_n$  tq

$M_1 \approx T_2(M_2) \approx \dots \approx T_n(M_n)$

# Difficultés

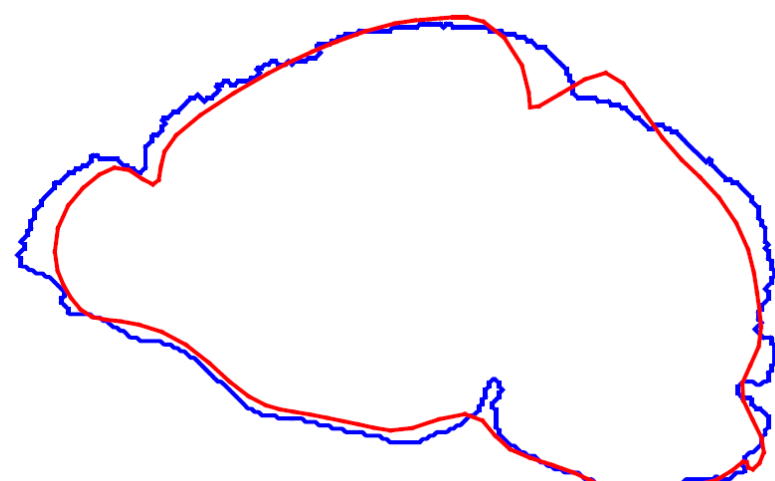
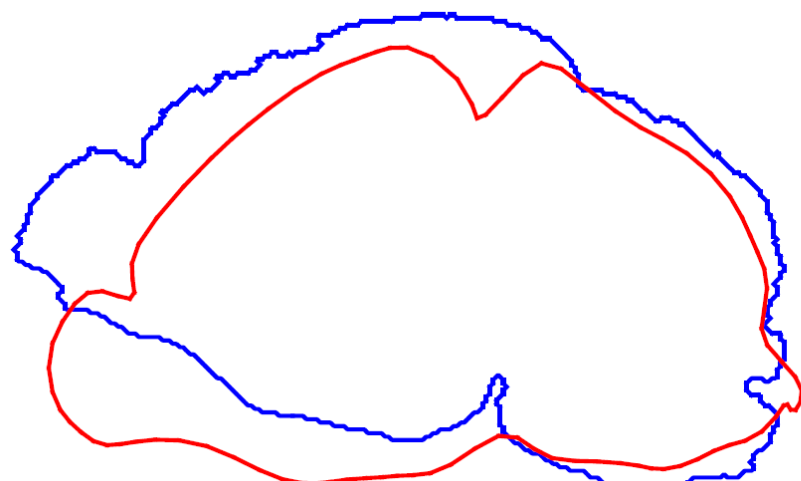
Différences globales et locales de forme

- Acquisition : décalage et rotation  
→ alignement
- La forme peut différer entre les modèles ou évoluer au cours du temps  
→ déformation

# Alignement

## Recalage par translation et rotation

- La structure reste « rigide »
- **Transformation rigide ou isométrique** (préservant les distances)
- Mathématiquement représentées par des opérations sur des vecteurs/matrices



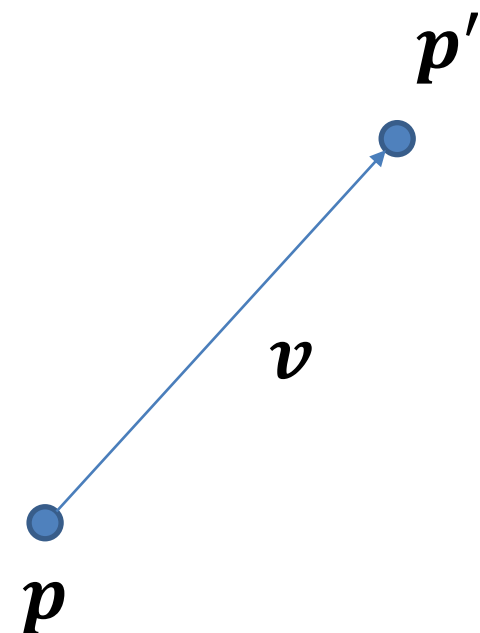
# Transformations mathématiques

## Translation

Addition de vecteurs :  $p' = v + p$

$$2D : \begin{pmatrix} p_x' \\ p_y' \end{pmatrix} = \begin{pmatrix} v_x \\ v_y \end{pmatrix} + \begin{pmatrix} p_x \\ p_y \end{pmatrix}$$

$$3D : \begin{pmatrix} p_x' \\ p_y' \\ p_z' \end{pmatrix} = \begin{pmatrix} v_x \\ v_y \\ v_z \end{pmatrix} + \begin{pmatrix} p_x \\ p_y \\ p_z \end{pmatrix}$$



# Transformations mathématiques

Rotation

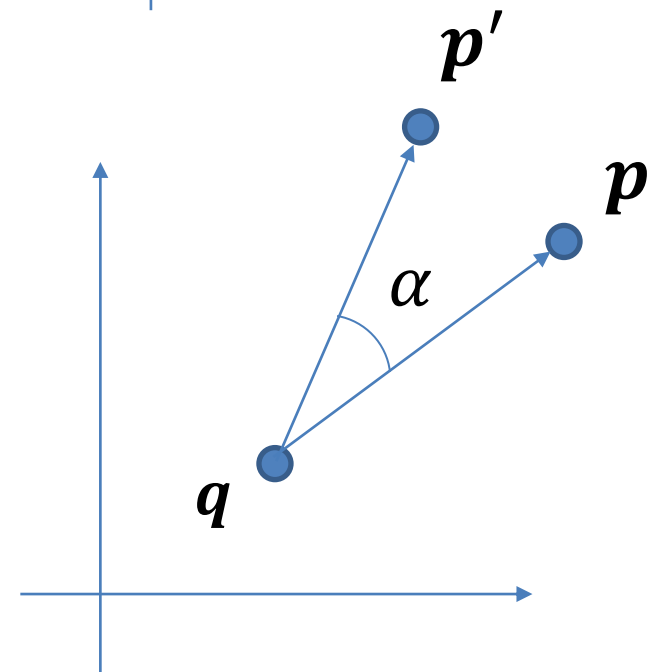
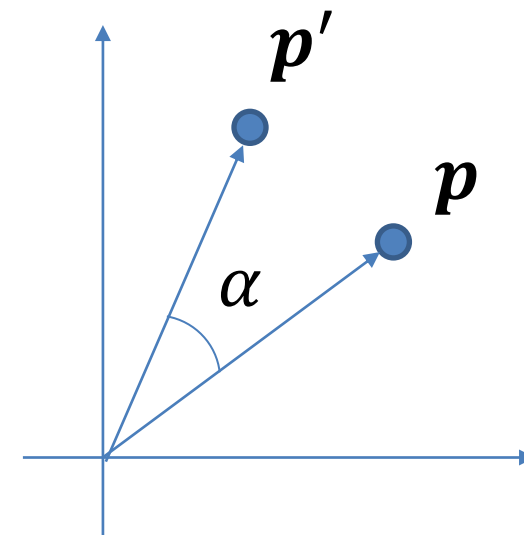
Produit matriciel :  $p' = R \cdot p$

$$2D : \begin{pmatrix} p_x' \\ p_y' \end{pmatrix} = R \cdot \begin{pmatrix} p_x \\ p_y \end{pmatrix}$$

$$R = \begin{pmatrix} \cos(\alpha) & -\sin(\alpha) \\ \sin(\alpha) & \cos(\alpha) \end{pmatrix}$$

Rotation autour du point  $q$  :

$$p' = R \cdot (p - q) + q$$



# Rotations

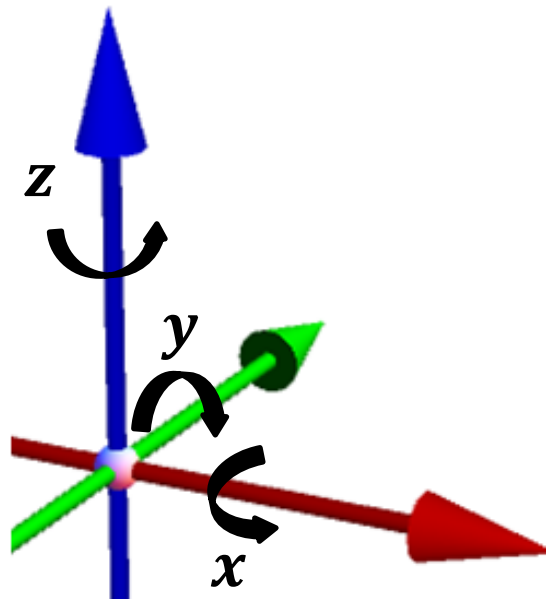
Produit matriciel :  $\mathbf{p}' = \mathbf{R} \cdot \mathbf{p}$  en 3D :

$$R_x = \begin{pmatrix} 1 & 0 & 0 \\ 0 & \cos(\alpha) & -\sin(\alpha) \\ 0 & \sin(\alpha) & \cos(\alpha) \end{pmatrix}$$

$$R_y = \begin{pmatrix} \cos(\alpha) & 0 & \sin(\alpha) \\ 0 & 1 & 0 \\ -\sin(\alpha) & 0 & \cos(\alpha) \end{pmatrix}$$

$$R_z = \begin{pmatrix} \cos(\alpha) & -\sin(\alpha) & 0 \\ \sin(\alpha) & \cos(\alpha) & 0 \\ 0 & 0 & 1 \end{pmatrix}$$

$$\begin{pmatrix} p_x' \\ p_y' \\ p_z' \end{pmatrix} = \mathbf{R} \cdot \begin{pmatrix} p_x \\ p_y \\ p_z \end{pmatrix}$$



Rotation arbitraire : composée de ces rotations

# Rotations : propriétés

Orthogonale :

- $R \cdot R^T = I$
- Vecteurs de norme 1 et orthogonaux 2 à 2

Exemples :

$$\begin{pmatrix} 1 & 0 & 0 \\ 0 & \cos(\alpha) & -\sin(\alpha) \\ 0 & \sin(\alpha) & \cos(\alpha) \end{pmatrix} \cdot \begin{pmatrix} 1 & 0 & 0 \\ 0 & \cos(\alpha) & \sin(\alpha) \\ 0 & -\sin(\alpha) & \cos(\alpha) \end{pmatrix} = \begin{pmatrix} 1 & 0 & 0 \\ 0 & 1 & 0 \\ 0 & 0 & 1 \end{pmatrix}$$

Facile à inverser :  $R^{-1} = R^T$

Toute matrice orthogonale représente une rotation autour d'un axe (pas limité à  $x, y, z$ )

# Rotation arbitraire : propriétés

Etant donnée une matrice orthogonale, l'angle de rotation peut être calculé par la trace de la matrice

- Trace : somme des valeurs sur la diagonale
- 2D :  $\text{trace} = 2 \cos(\alpha)$  avec  $\alpha$  l'angle de rotation
- 3D :  $\text{trace} = 1 + 2 \cos(\alpha)$

Plus la trace est grande plus petit est l'angle

# Valeurs et vecteurs propres

Soit  $M$  une matrice carrée,  $v$  est un vecteur propre et  $\lambda$  une valeur propre si :

$$M \cdot v = \lambda * v$$

Si  $M$  représente une rotation (i.e. orthogonale), l'axe de rotation est un vecteur propre dont la valeur propre = 1

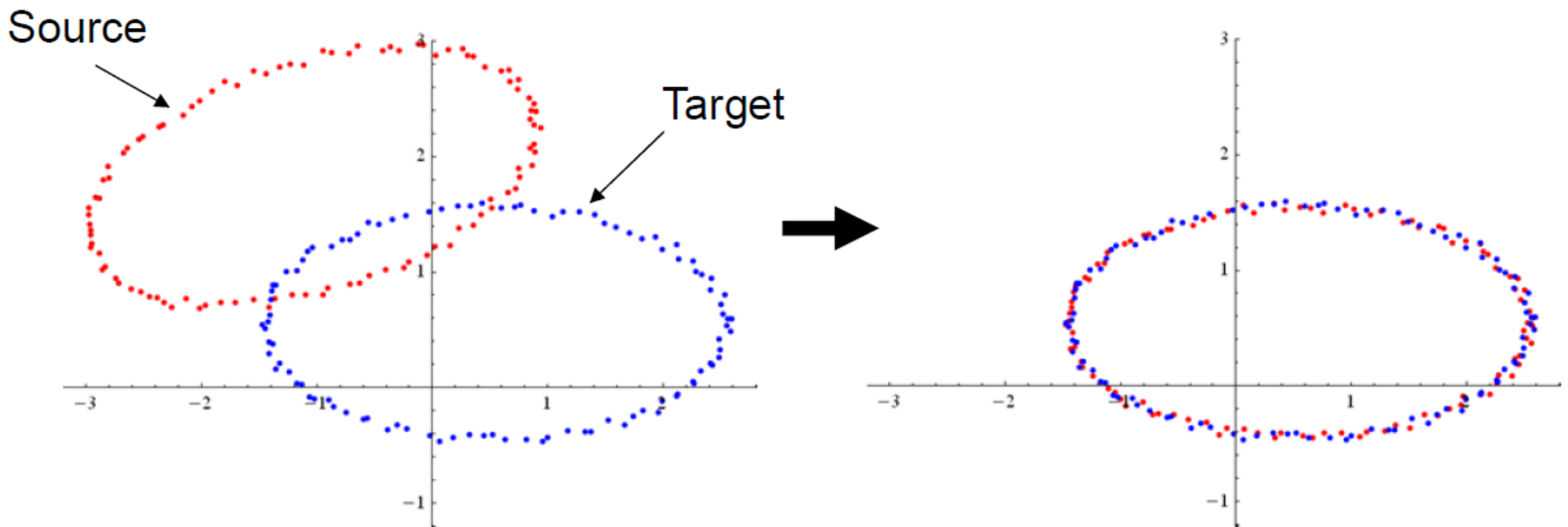
Il y a au maximum  $m$  valeurs propres distinctes pour une matrice de  $m \times m$

N'importe quel vecteur propre multiplié par un scalaire est aussi un vecteur propre (pour la même valeur propre)

# Alignement

**Entrée :** 2 modèles représentés par des nuages de points  
- Source et cible (target)

**Sortie :** positions des points sources bougés et tournés



# Méthodes

## 1. Analyse en composante principale (ACP)

- Aligner les directions principales

## 2. Décomposition en Valeur Singulières (SVD)

- Alignement optimal avec des connaissances à priori de correspondances

## 3. Iterative Closest Point (ICP)

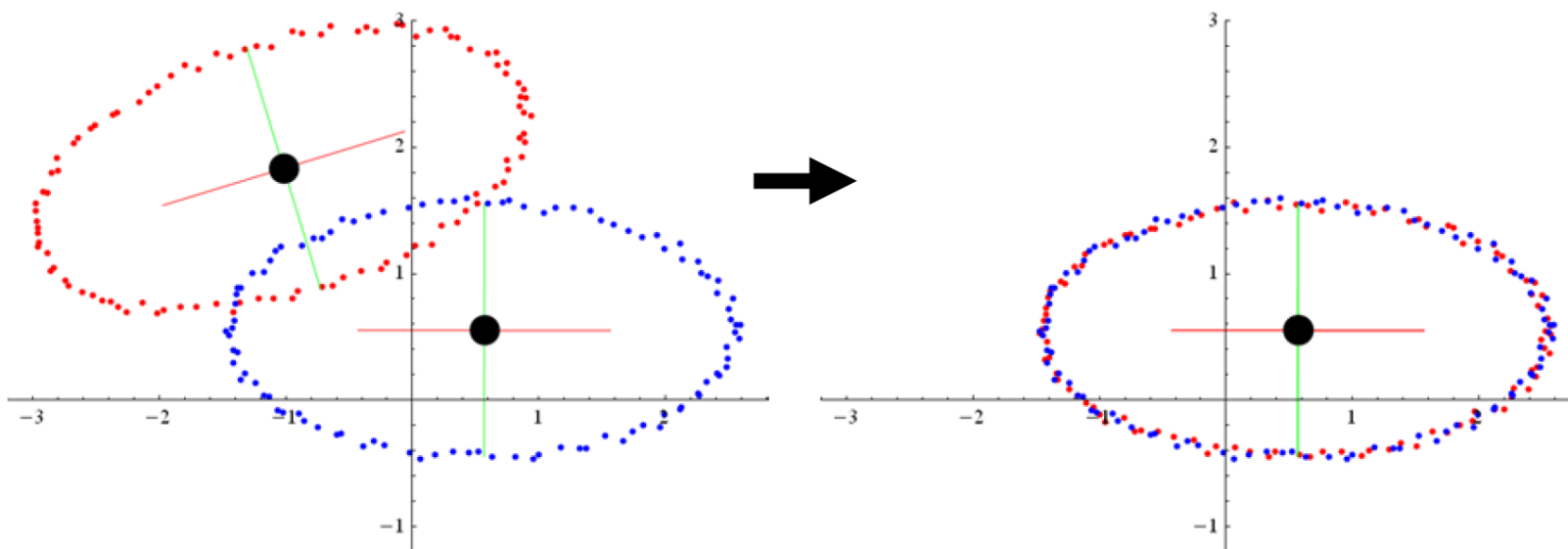
- Un algorithme SVD itératif avec calcul des correspondances

# ACP ou PCA

Système de coordonnées dépendant la forme du modèle :

- **Origine** : centroïde des points
- **Axes** : directions dans lesquels le modèle varie le plus ou le moins

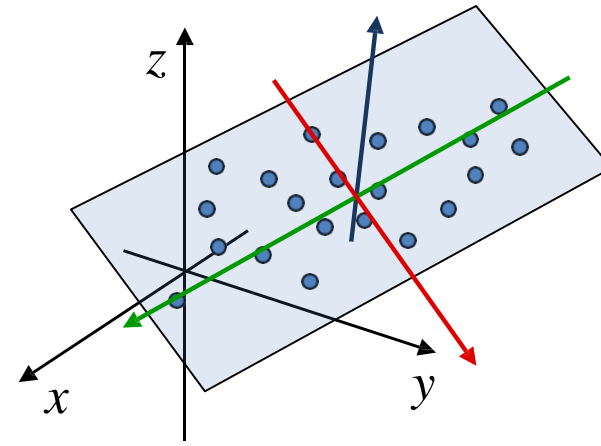
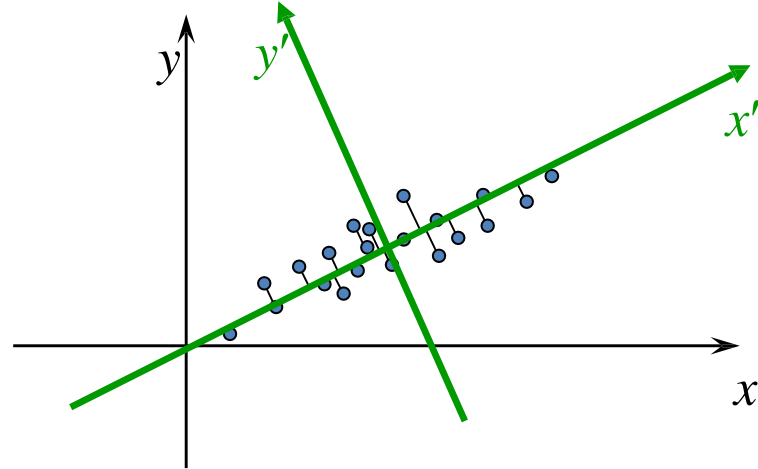
Transformer la source pour l'aligner avec son origine/axes de la cible



Cours ACP : <https://www.youtube.com/watch?v=uV5hmpzmWsU>

# ACP ou PCA

Trouver la base orthogonale qui représente le mieux le jeu de données



ACP trouve la meilleure approximation en termes des  $\sum distances^2$

# Notations

Points d'entrée :  $p_1, p_2, \dots, p_n$

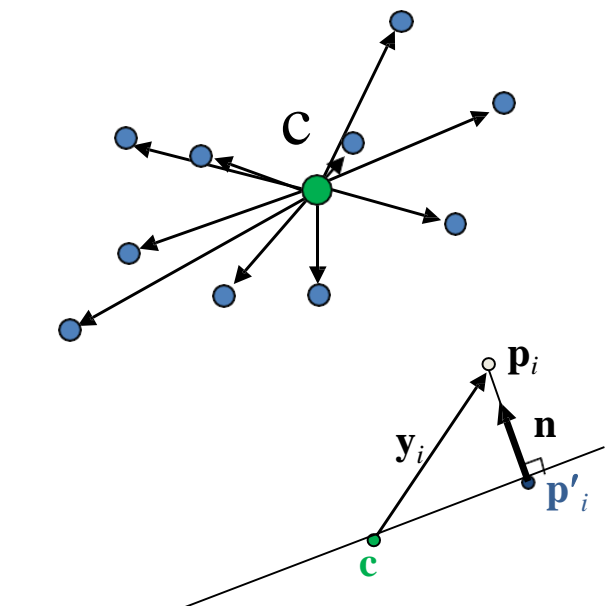
$$\in \mathbb{R}^d$$

Centroïde :  $c = \frac{1}{n} \sum_{i=1}^n p_i$

Vecteur du centroïde :

$$y_i = p_i - c$$

$c$  sera l'origine du plan  
Notre problème devient :



$$\min_{\|\mathbf{n}\|=1} \sum_{i=1}^n (\mathbf{y}_i^T \mathbf{n})^2$$

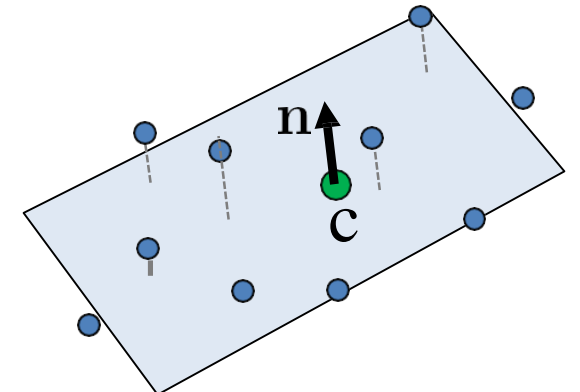
# Normale du plan

## Minimise

$$\min_{\mathbf{n}^T \mathbf{n} = 1} \sum_{i=1}^n (\mathbf{y}_i^T \mathbf{n})^2 = \min_{\mathbf{n}^T \mathbf{n} = 1} \sum_{i=1}^n \mathbf{n}^T \mathbf{y}_i \mathbf{y}_i^T \mathbf{n} =$$
$$\min_{\mathbf{n}^T \mathbf{n} = 1} \mathbf{n}^T \left( \sum_{i=1}^n \mathbf{y}_i \mathbf{y}_i^T \right) \mathbf{n} = \min_{\mathbf{n}^T \mathbf{n} = 1} \mathbf{n}^T (\mathbf{Y} \mathbf{Y}^T) \mathbf{n}$$

↓

$$\mathbf{Y} = \begin{pmatrix} | & | & & | \\ \mathbf{y}_1 & \mathbf{y}_2 & \dots & \mathbf{y}_n \\ | & | & & | \end{pmatrix}$$



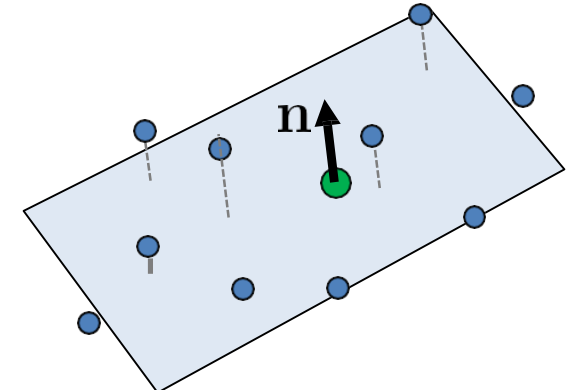
# Normale du plan

Minimize!

$$\min_{\mathbf{n}^T \mathbf{n} = 1} \sum_{i=1}^n (\mathbf{y}_i^T \mathbf{n})^2 = \min_{\mathbf{n}^T \mathbf{n} = 1} \sum_{i=1}^n \mathbf{n}^T \mathbf{y}_i \mathbf{y}_i^T \mathbf{n} =$$
$$\min_{\mathbf{n}^T \mathbf{n} = 1} \mathbf{n}^T \left( \sum_{i=1}^n \mathbf{y}_i \mathbf{y}_i^T \right) \mathbf{n} = \min_{\mathbf{n}^T \mathbf{n} = 1} \mathbf{n}^T (\mathbf{Y} \mathbf{Y}^T) \mathbf{n}$$

$\mathbf{Y} = \begin{pmatrix} | & | & & | \\ \mathbf{y}_1 & \mathbf{y}_2 & \dots & \mathbf{y}_n \\ | & | & & | \end{pmatrix}$

$$f(\mathbf{n}) = \mathbf{n}^T \mathbf{S} \mathbf{n} \quad (\mathbf{S} = \mathbf{Y} \mathbf{Y}^T)$$
$$\min f(\mathbf{n}) \quad s.t. \quad \mathbf{n}^T \mathbf{n} = 1$$



# Resumé - trouvé le meilleur plan

- Entrée :  $p_1, p_2, \dots, p_n \in \mathbb{R}^d$

- Centroïde = origine du plan

$$c = \frac{1}{n} \sum_{i=1}^n p_i$$

- Calculer la matrice

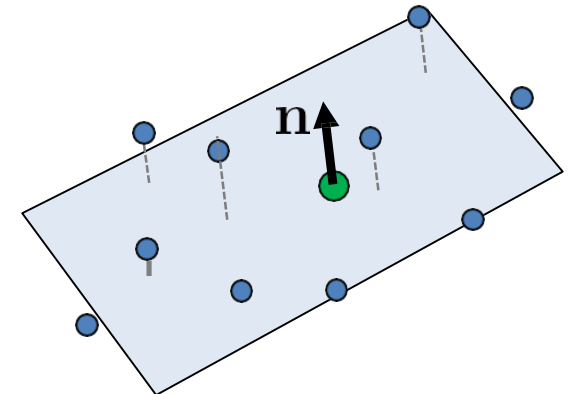
$$\mathbf{S} = \mathbf{Y}\mathbf{Y}^T$$

$$\mathbf{Y} = (\mathbf{y}_1 \ \mathbf{y}_2 \ \dots \ \mathbf{y}_n)$$

$$y_i = p_i - c$$

- La normal au plan  $\mathbf{n}$  est le vecteur propre de  $\mathbf{S}$  avec la valeur propre la plus petite

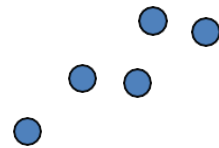
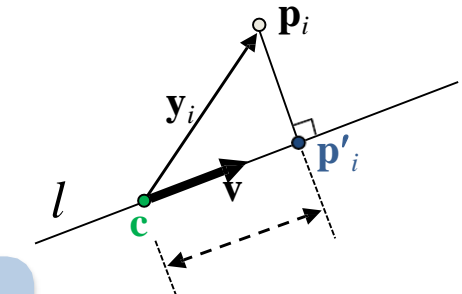
$$\mathbf{S} = \mathbf{V} \begin{pmatrix} \lambda_1 & & \\ & \ddots & \\ & & \lambda_d \end{pmatrix} \mathbf{V}^T$$



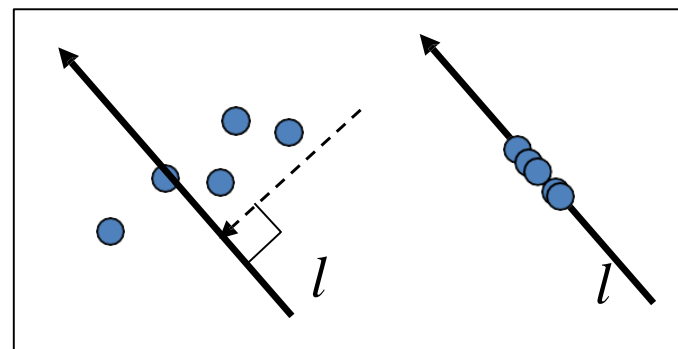
# Que dit la matrice de covariance ?

- Pour une ligne  $l$  passant par le centre de masse  $\mathbf{c}$  avec un vecteur de direction  $\mathbf{v}$ , projetons nos  $\mathbf{p}_i$ . La **variance** des points **projétés**  $\mathbf{p}'_i$  est :

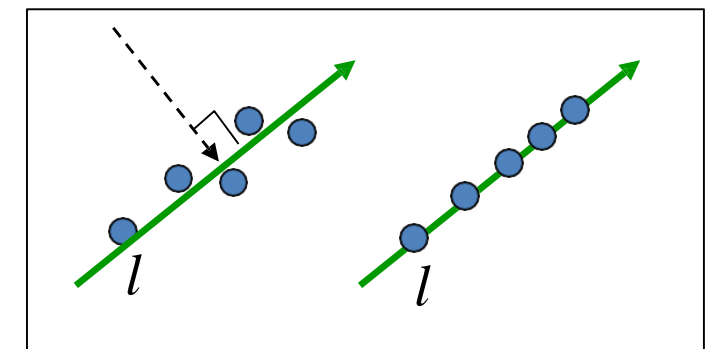
$$\text{var}(\mathbf{p}_1, \dots, \mathbf{p}_n; \mathbf{v}) = \frac{1}{n} \sum_{i=1}^n \| \mathbf{p}'_i - \mathbf{c} \|^2 =$$
$$= \frac{1}{n} \sum_{i=1}^n \| (\mathbf{c} + \mathbf{v}^T \mathbf{y}_i) - \mathbf{c} \|^2 = \frac{1}{n} \sum_{i=1}^n (\mathbf{y}_i^T \mathbf{v})^2 = \frac{1}{n} \mathbf{v}^T \mathbf{S} \mathbf{v}$$



Original set



Small variance

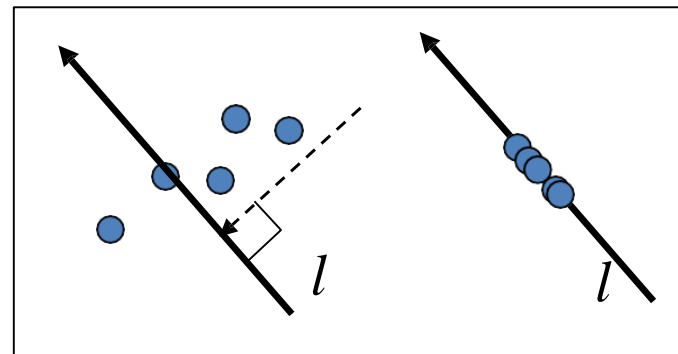
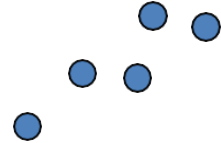
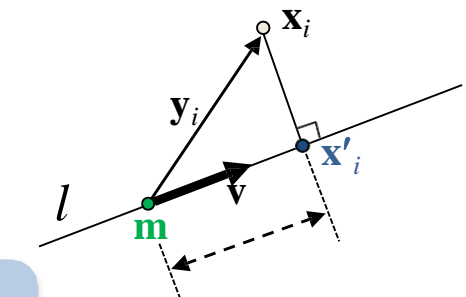


Large variance

# Que dit la matrice de covariance ?

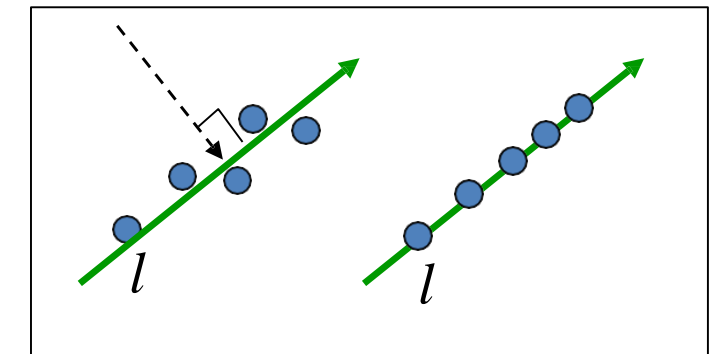
- Mesure la variance des points d'entrée suivant la direction  $\mathbf{v}$

$$\begin{aligned}\text{var}(\mathbf{p}_1, \dots, \mathbf{p}_n; \mathbf{v}) &= \frac{1}{n} \sum_{i=1}^n \| \mathbf{p}'_i - \mathbf{c} \|^2 = \\ &= \frac{1}{n} \sum_{i=1}^n \| (\mathbf{c} + \mathbf{v}^T \mathbf{y}_i) - \mathbf{c} \|^2 = \frac{1}{n} \sum_{i=1}^n (\mathbf{y}_i^T \mathbf{v})^2 = \frac{1}{n} \mathbf{v}^T \mathbf{S} \mathbf{v}\end{aligned}$$



Original set

Small variance



Large variance

# Principal Components

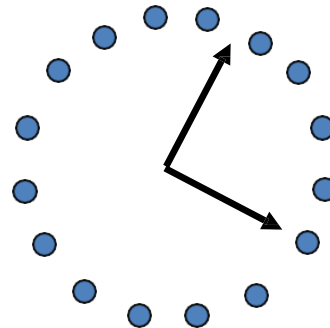
- Mesure la variance des points d'entrée suivant la direction  $\mathbf{v}$

Les vecteurs propres de  $\mathbf{S}$  avec une **grande** valeur propre sont les directions avec des composants forts (= grande variance).

Si les vp sont équivalentes il n'y a pas de direction privilégiée.

$$\mathbf{S} = \mathbf{V} \begin{pmatrix} \lambda_1 & & \\ & \ddots & \\ & & \lambda_d \end{pmatrix} \mathbf{V}^T$$

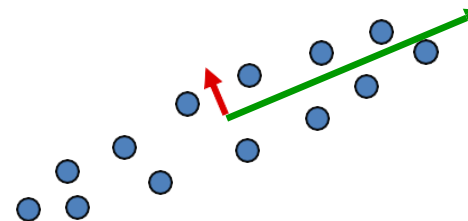
# Principal Components



- There's no preferable direction
- $S$  looks like this:

$$S = V \begin{pmatrix} \lambda & \\ & \lambda \end{pmatrix} V^T$$

- Any vector is an eigenvector



- There's a clear preferable direction
- $S$  looks like this:

$$S = V \begin{pmatrix} \lambda & \\ & \mu \end{pmatrix} V^T$$

- $\mu$  is close to zero, much smaller than  $\lambda$

# ACP

Nuage de points  $p_1, \dots, p_n$  avec leur centroïde  $c$

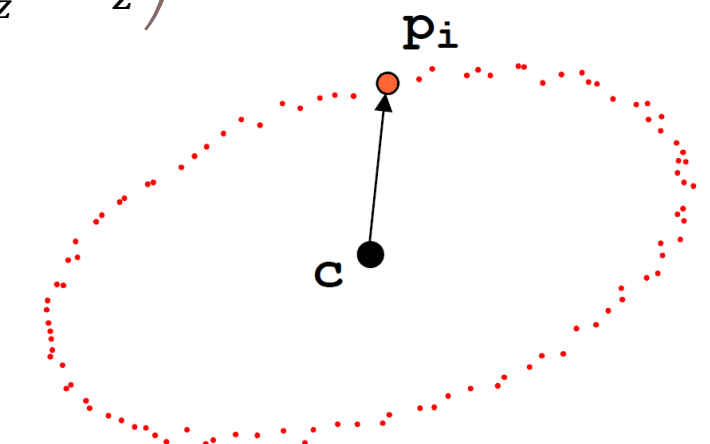
On construit la matrice  $Y$  :  $i^{\text{ème}}$  colonne = vecteur  $p_i - c$

Matrice 2xn :  $P = \begin{pmatrix} p_{1x} - c_x & p_{2x} - c_x & \cdots & p_{nx} - c_x \\ p_{1y} - c_y & p_{2y} - c_y & \cdots & p_{ny} - c_y \end{pmatrix}$

Matrice 3xn :  $P = \begin{pmatrix} p_{1x} - c_x & p_{2x} - c_x & \cdots & p_{nx} - c_x \\ p_{1y} - c_y & p_{2y} - c_y & \cdots & p_{ny} - c_y \\ p_{1z} - c_z & p_{2z} - c_z & \cdots & p_{nz} - c_z \end{pmatrix}$

La matrice de covariance :  $S = P.P^T$

- 2D : une matrice 2x2
- 3D : une matrice 3x3



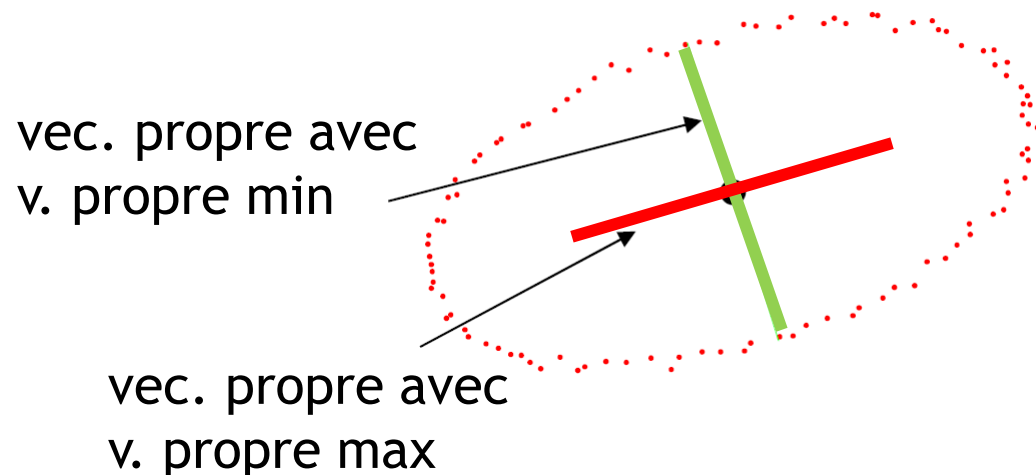
# ACP

**Vecteurs propres de la matrice de covariance :**  
directions principales de variation de forme

- Non signés et orthogonaux

**Valeurs propres** : amplitude de la variation suivant chaque vecteur propre

- plus grande (petite) vp = direction de plus grande (petite) variation de forme.



# Alignement : ACP

Avec  $c_S$ ,  $c_T$  les centroïdes de la source et la cible

1 - déplacer pour aligner  $c_S$  et  $c_T$  avec

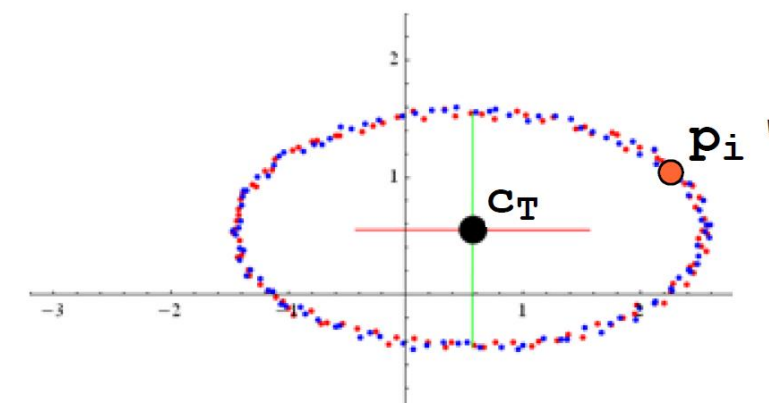
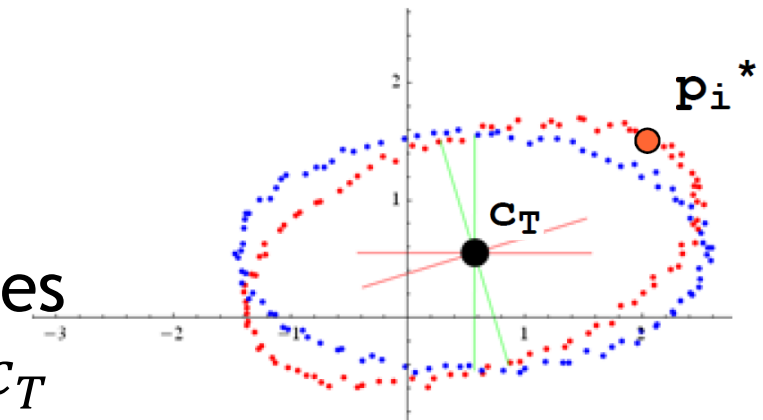
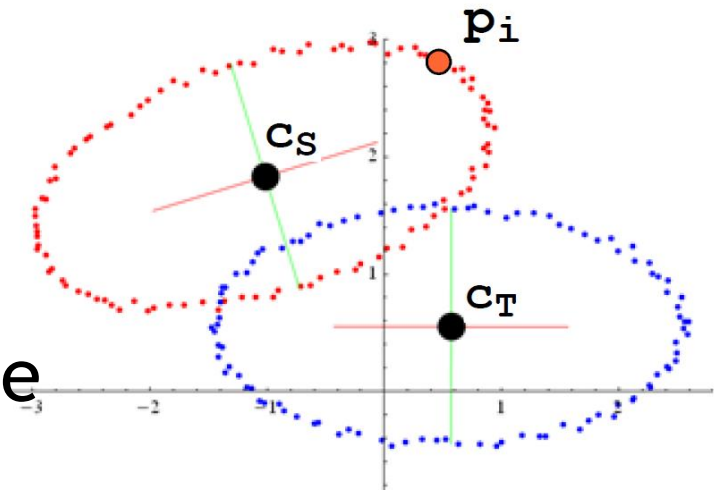
$$p_i^* = p_i + (c_T - c_S)$$

2 - trouver la rotation  $R$  alignant les axes de ACP et tourner la source autour de  $c_T$

$$p_i' = c_T + R \cdot (p_i^* - c_T)$$

Combiné :

$$p_i' = c_T + R \cdot (p_i - c_S)$$



# Alignement : ACP

Trouver la rotation entre des **axes orientés** :

Soit les matrices  $A, B$  dont les colonnes sont les axes

- axes orthogonaux et normalisés (ie  $A$  et  $B$  sont orthogonales)

On veut calculer une matrice de rotation  $R$  tq :

$$R \cdot A = B$$

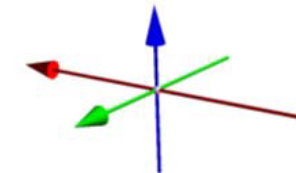
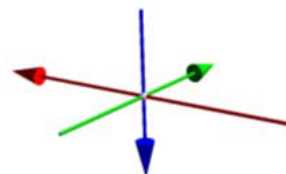
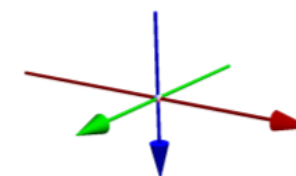
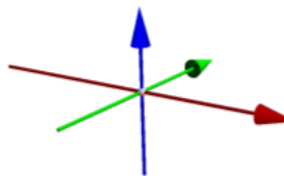
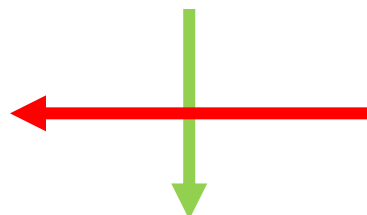
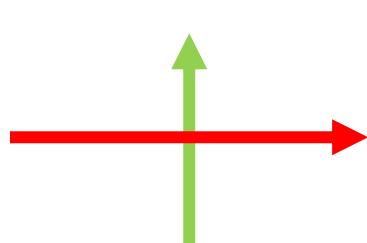
Comme  $A$  et  $B$  sont orthogonales :

$$R = B \cdot A^{-1} = B \cdot A^T$$

# Alignement : ACP

Assigner une orientation aux axes ACP

- 2 possibilités en 2D
- En 3D, 4 possibilités (loi de la main droite)



— 1<sup>er</sup> vecteur propre

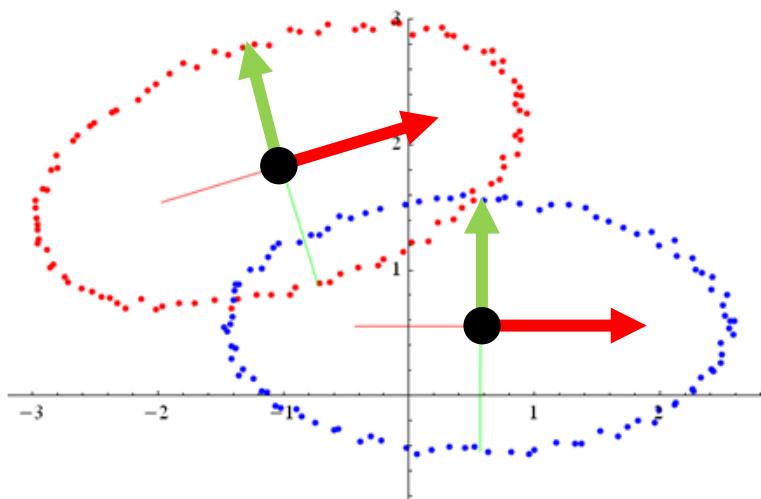
— 2<sup>ème</sup> vecteur propre

— 3<sup>ème</sup> vecteur propre

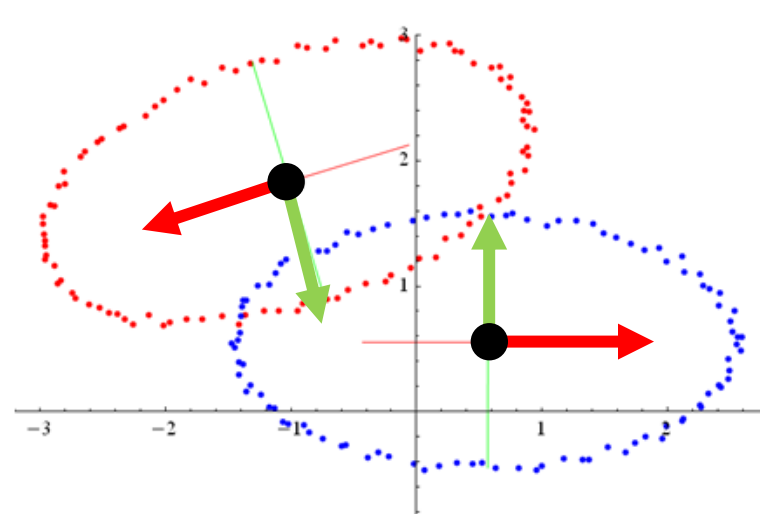
# Alignement : ACP

Trouver la rotation entre des axes orientés :

- Fixer l'orientation des axes cibles
- Pour chaque orientation possible de la source, calculer  $R$
- Choisir le  $R$  avec l'angle de rotation le plus petit (trace de  $R$ )



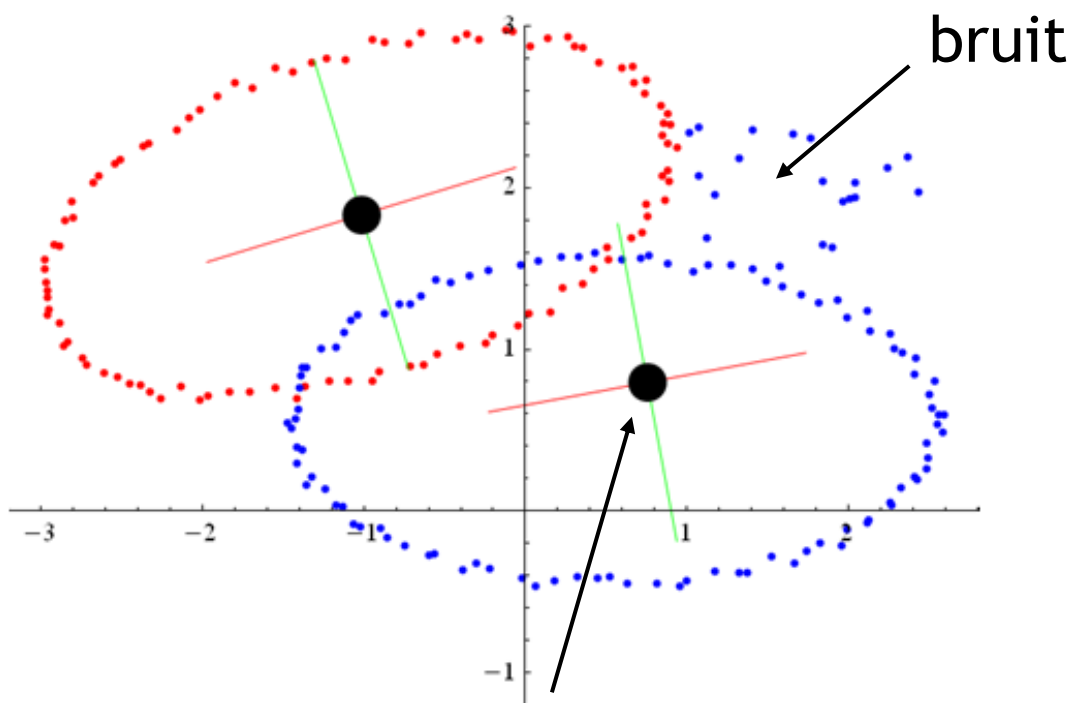
Plus petite rotation



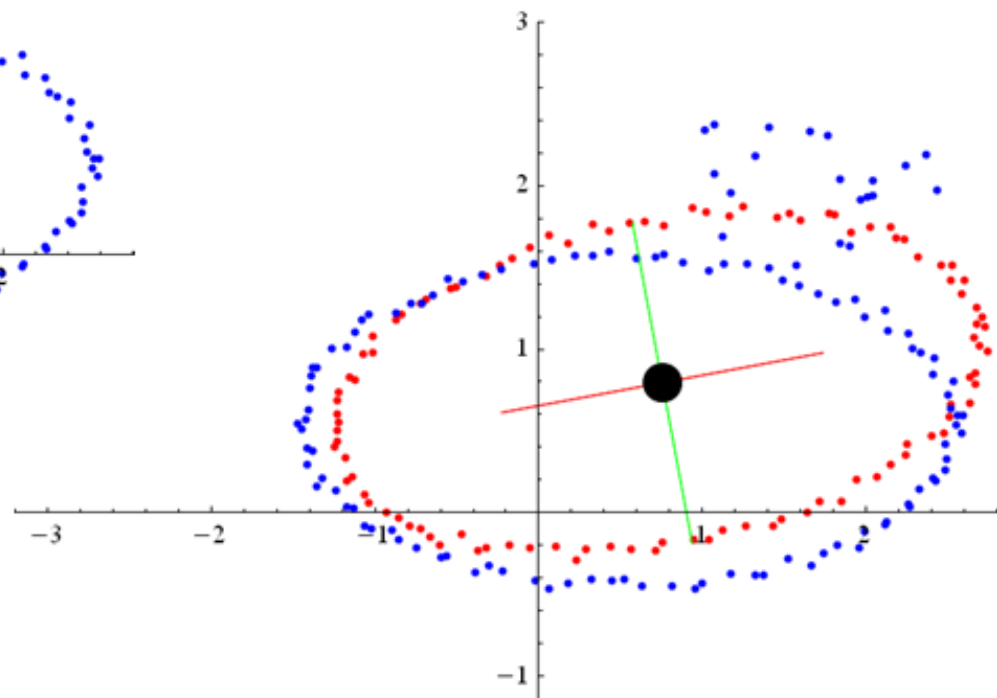
Plus grande rotation

# Limitations

Centroïdes sensibles au bruit



Axes affectés



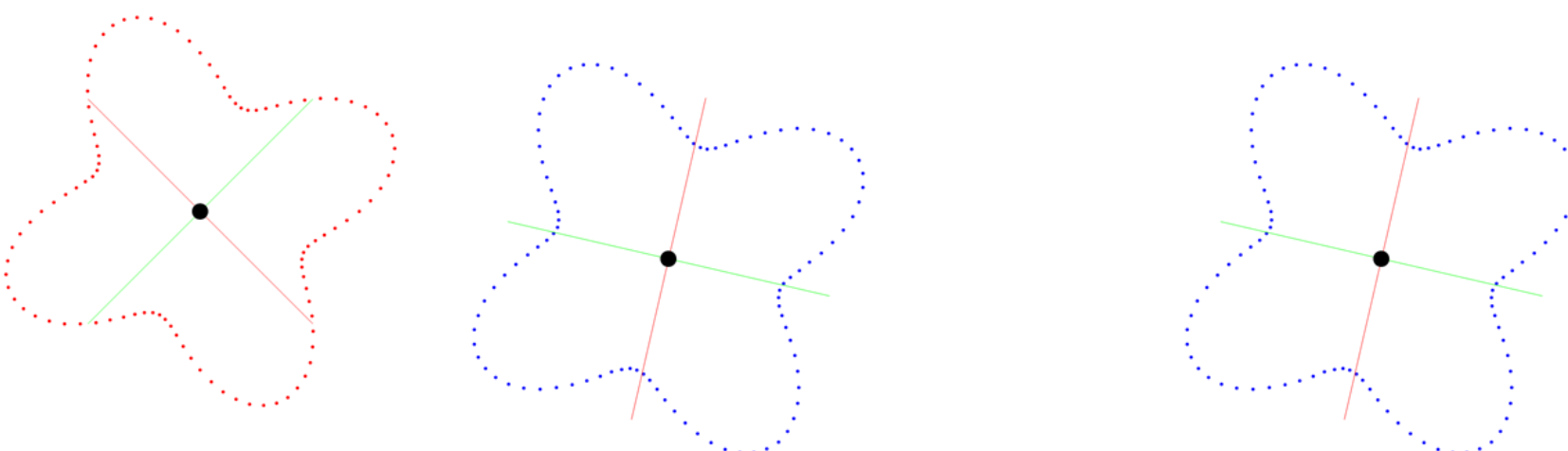
Résultat de l'ACP

# Limitations

Les axes ne sont pas fiables pour les objets circulaires

Les valeurs propres deviennent similaires

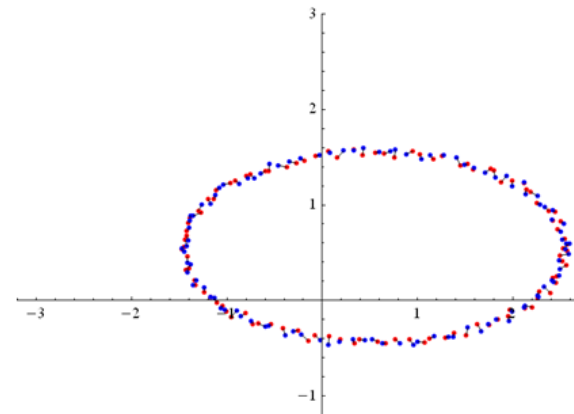
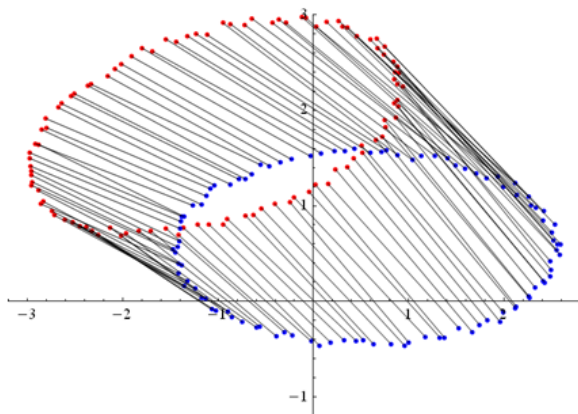
Les vecteurs propres instables



# SVD

Alignement optimal entre des points correspondants

- Supposons qu'on connaisse la correspondance entre les points de la source et de la cible



# SVD

Formulation du problème :

- Points sources  $p_1, \dots, p_n$  avec leur centroïde  $c_S$
  - Points cibles  $q_1, \dots, q_n$  avec leur centroïde  $c_T$
  - $q_i$  correspond au point  $p_i$
- 
- Après centrage et rotation par  $R$ , un point source transformé se trouve à :

$$p_i' = c_T + R \cdot (p_i - c_S)$$

Trouver  $R$  minimisant la somme des paires de distance :

$$E = \sum_{i=1}^n \|q_i - p_i'\|^2$$

# SVD

Equivalent à

Soit  $P$  une matrice dont la  $i^{\text{ème}}$  colonne est le vecteur  $p_i - c_S$

Soit  $Q$  une matrice dont la  $i^{\text{ème}}$  colonne est le vecteur  $q_i - c_T$

Considérons la matrice de covariance croisée :

$$M = P \cdot Q^T$$

Trouver la matrice de rotation orthogonale qui maximise la trace :

$$\text{Tr}(R \cdot M)$$

# SVD

Résoudre le problème de minimisation

Singular Value Decomposition (SVD) d'une matrice  $m \times m$   $M$  :

$$M = U \cdot W \cdot V^T$$

- $U, V$  sont des matrice  $m \times m$  orthogonales (i.e. rotations)
- $W$  est une matrice  $m \times m$  diagonale sans entrées négatives

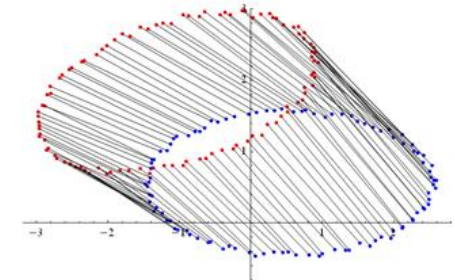
La matrice orthogonale (rotation)  $R = V \cdot U^T$  est  $R$  maximisant  $\text{Tr}(R \cdot M)$

SVD disponible dans de nombreuse librairies C++

# Alignement par SVD

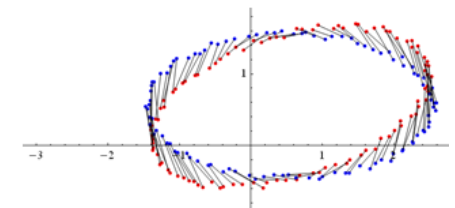
Former la matrice de covariance croisée :

$$M = P \cdot Q^T$$



Calculer la SVD :

$$M = U \cdot W \cdot V^T$$

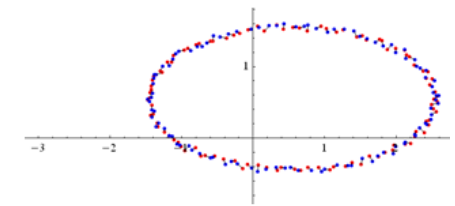


La matrice de rotation est :

$$R = V \cdot U^T$$

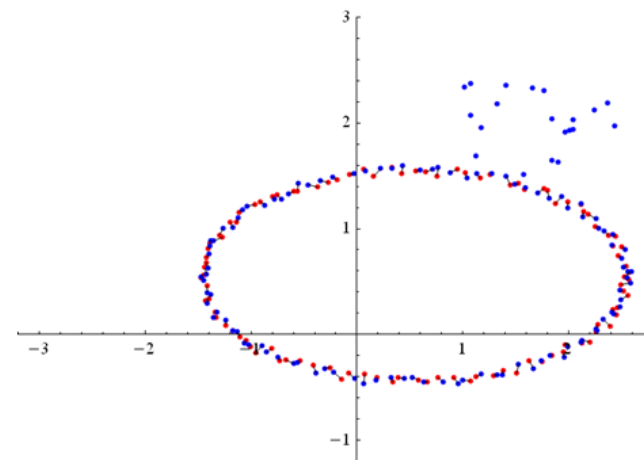
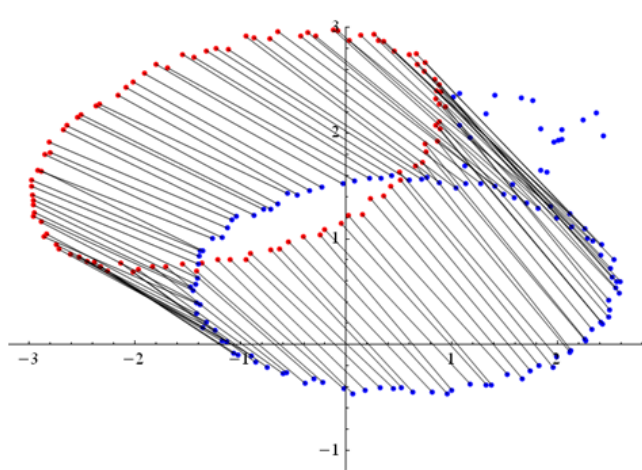
Déplacer et tourner la source :

$$p_i' = c_T + R \cdot (p_i - c_S)$$



# Alignement par SVD

Plus stable que l'ACP



Si les correspondances sont correctes...

# Alignement par SVD

Plus stable que l'ACP



Si les correspondances sont correctes...

# Alignement par SVD

Limitation :

Nécessite des correspondances précises la plus part du temps non disponibles

→ ICP

# ICP : Iterative Closest Point

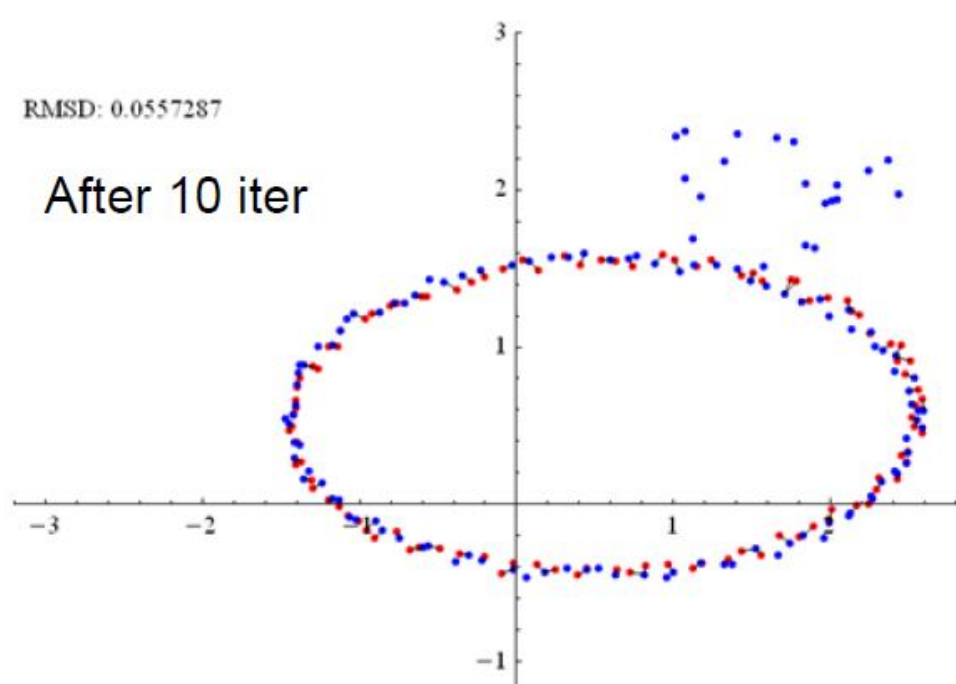
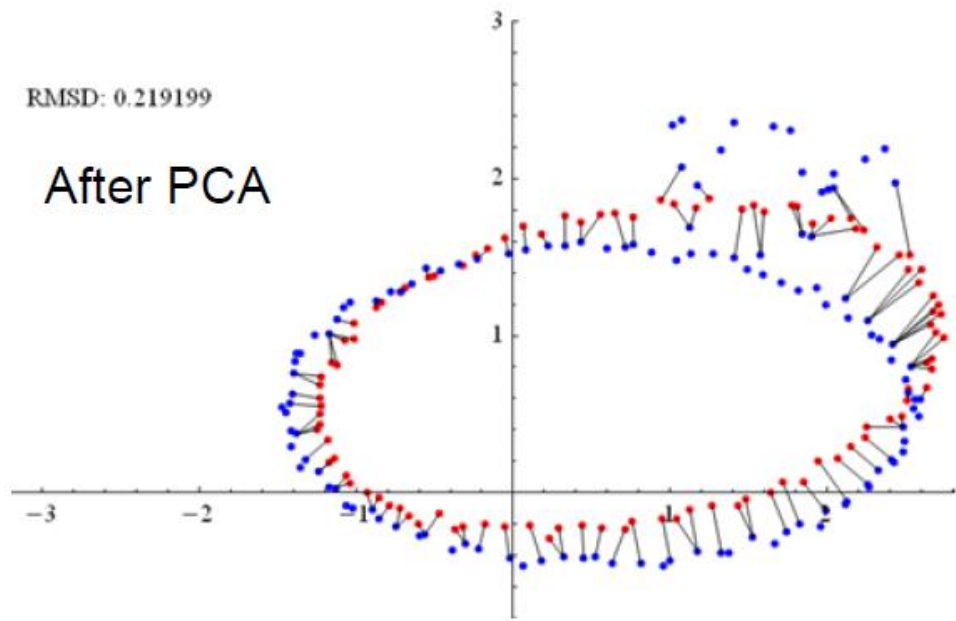
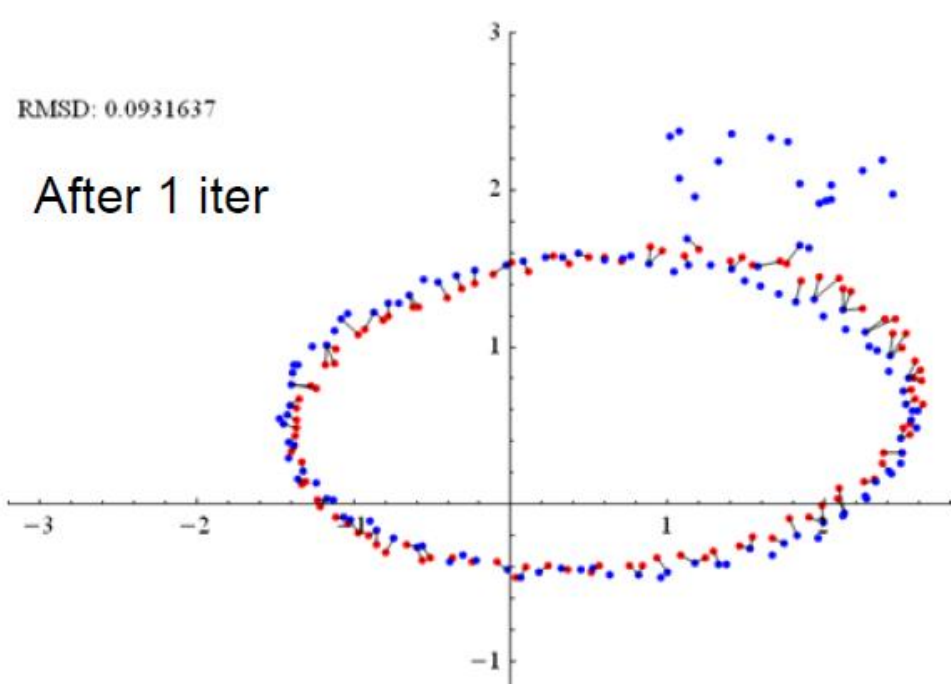
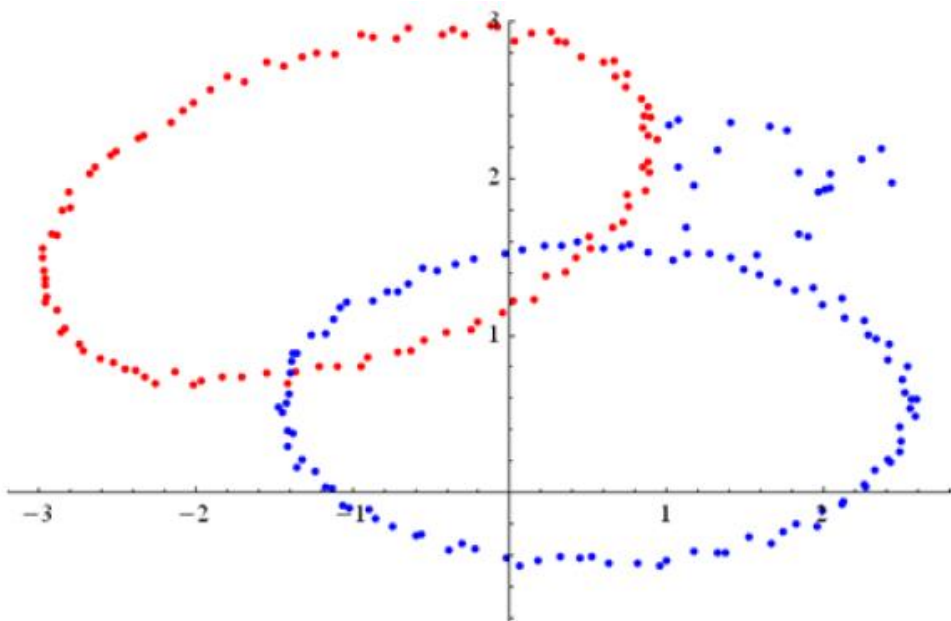
Idée :

Utiliser l'alignement ACP pour obtenir une première initialisation

Améliorer itérativement les correspondances après des SVD répétées

- 1 - Transformer la source avec ACP
- 2 - Pour chaque point transformé, allouer le point cible le plus proche. Aligner source et cible avec une SVD  
Tous les points cibles n'ont pas besoin d'être utilisés
- 3 - Répéter 2 jusqu'à atteindre un critère d'arrêt

# ICP



# ICP

Critère de fin

- nombre d'itération max
- l'amélioration devient faible :

Root Mean Squared Distance (RMSD)

$$\sqrt{\frac{\sum_{i=1}^n \|q_i - p'_i\|^2}{n}}$$

Mesure de la déviation moyenne de toutes les correspondances

Arrêter quand la différence des RMSD avant et après < seuil utilisateur

# Correspondances

Combien de points sont nécessaires pour trouver la bonne transformation ?

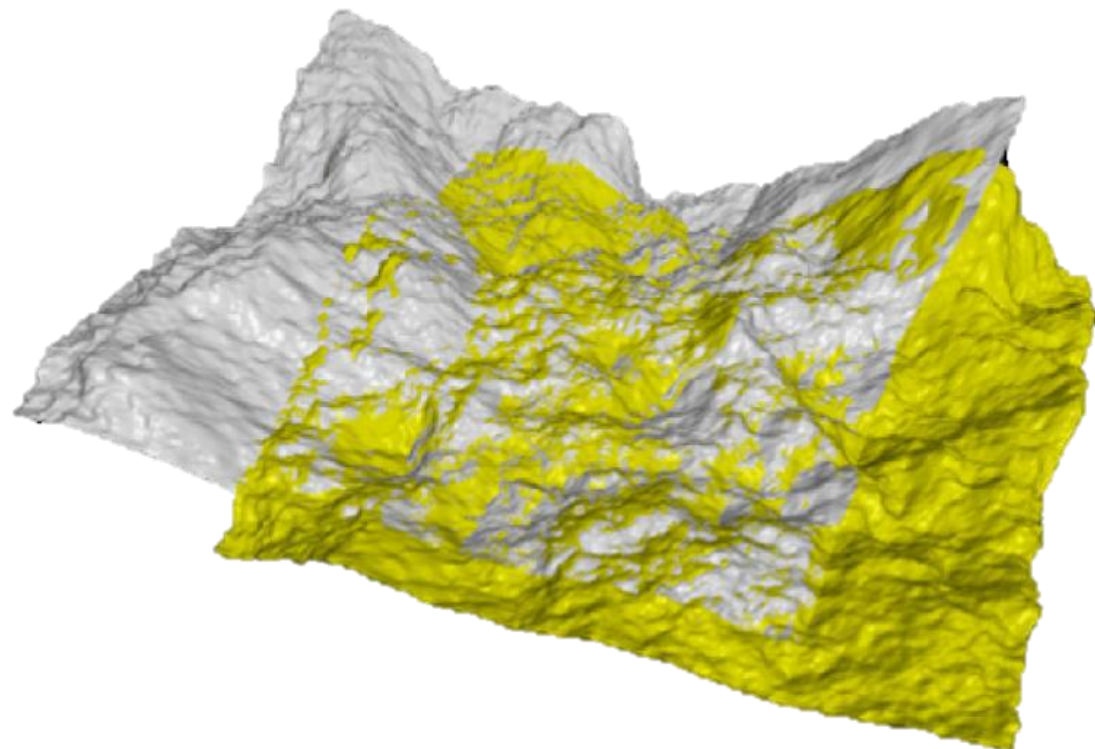
Le premier problème est de trouver les paires

$$\mathbf{p}_1 \rightarrow \mathbf{q}_1$$

$$\mathbf{p}_2 \rightarrow \mathbf{q}_2$$

$$\mathbf{p}_3 \rightarrow \mathbf{q}_3$$

$$R\mathbf{p}_i + t \approx \mathbf{q}_i$$



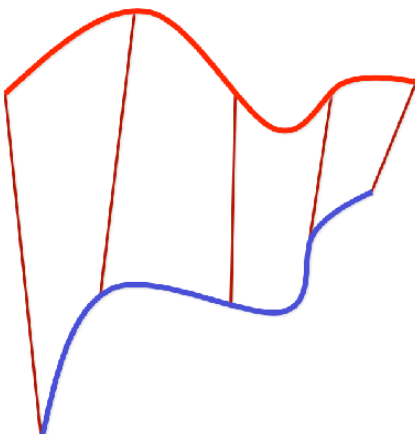
# ICP : Iterative Closest Point

Intuition :

Correspondances correctes  $\Rightarrow$  pb résolu !

Idée :

- (1) Trouver les correspondances
- (2) Les utiliser pour trouver la transformation



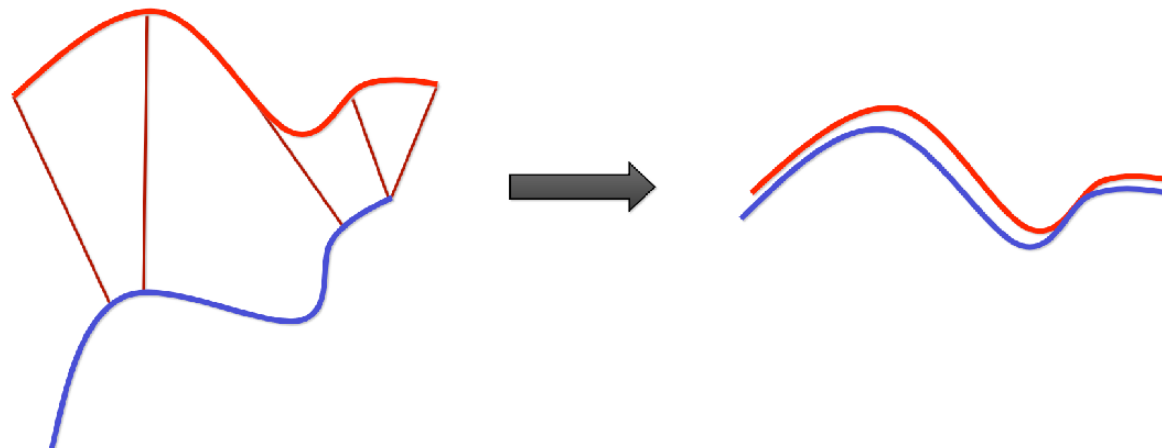
# ICP : Iterative Closest Point

Intuition :

Correspondances correctes  $\Rightarrow$  pb résolu !

Idée :

- (1) Trouver les correspondances
- (2) Les utiliser pour trouver la transformation



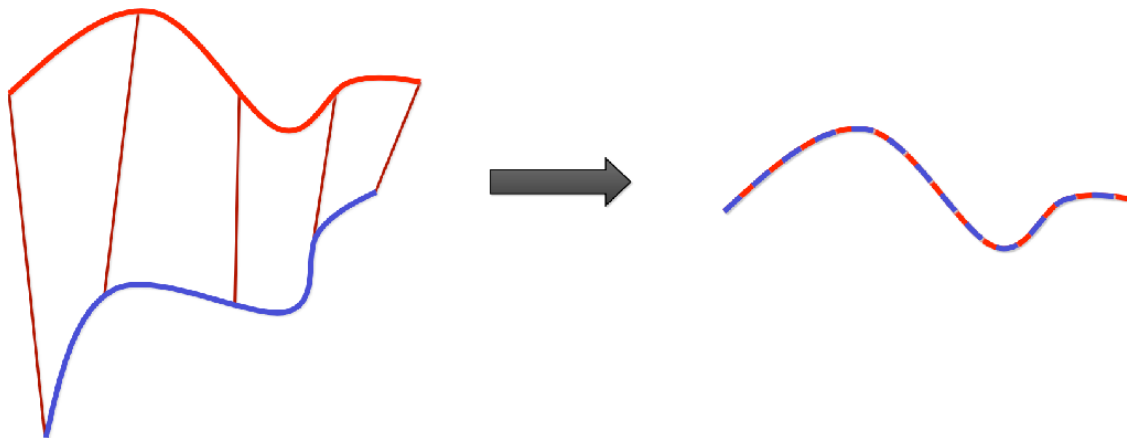
# ICP : Iterative Closest Point

Intuition :

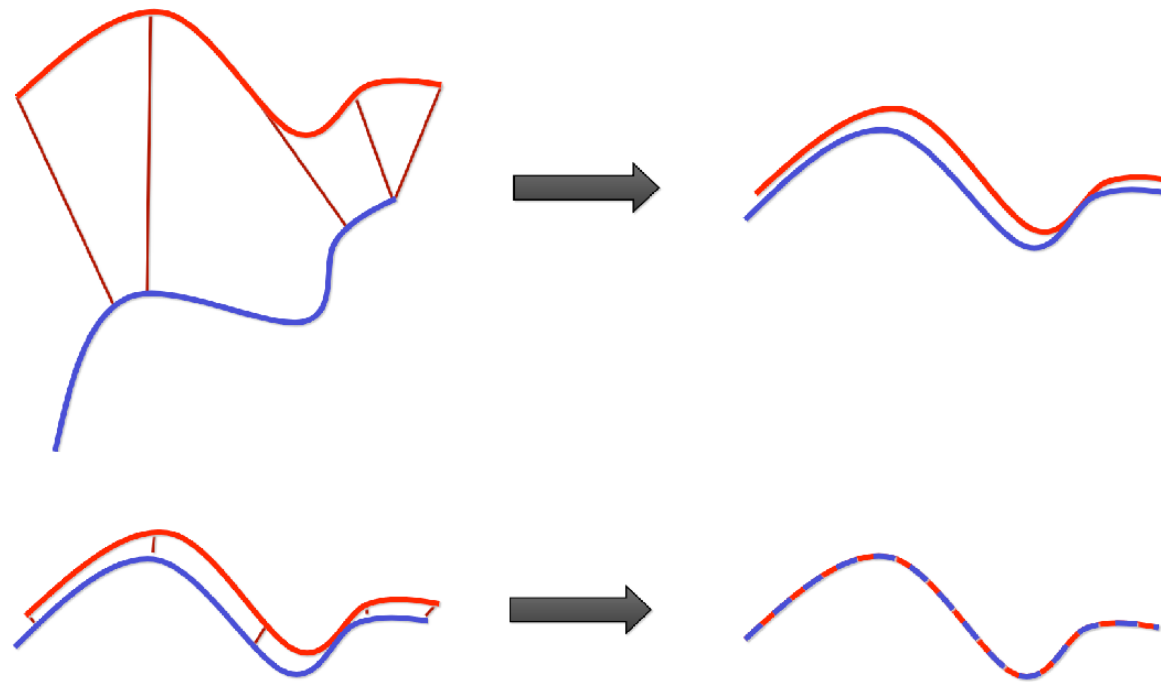
Correspondances correctes  $\Rightarrow$  pb résolu !

Idée :

- (1) Trouver les correspondances
- (2) Les utiliser pour trouver la transformation



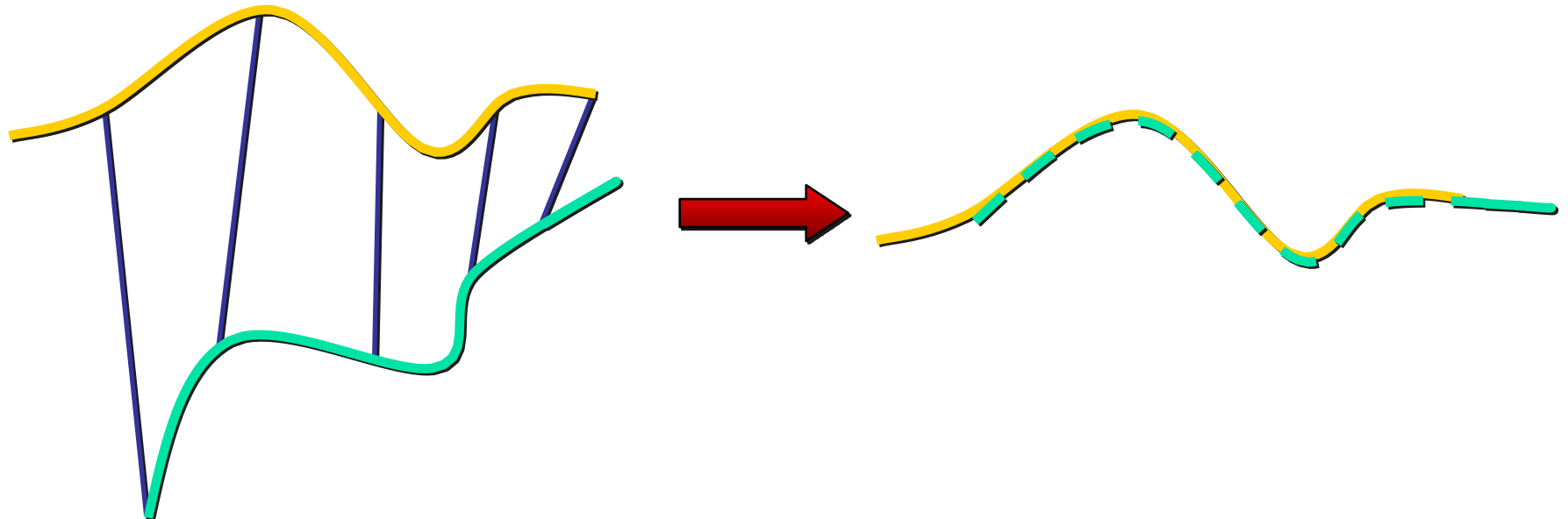
# ICP : Iterative Closest Point



Cet algorithme converge vers la bonne solution  
si les scans sont « assez proches »

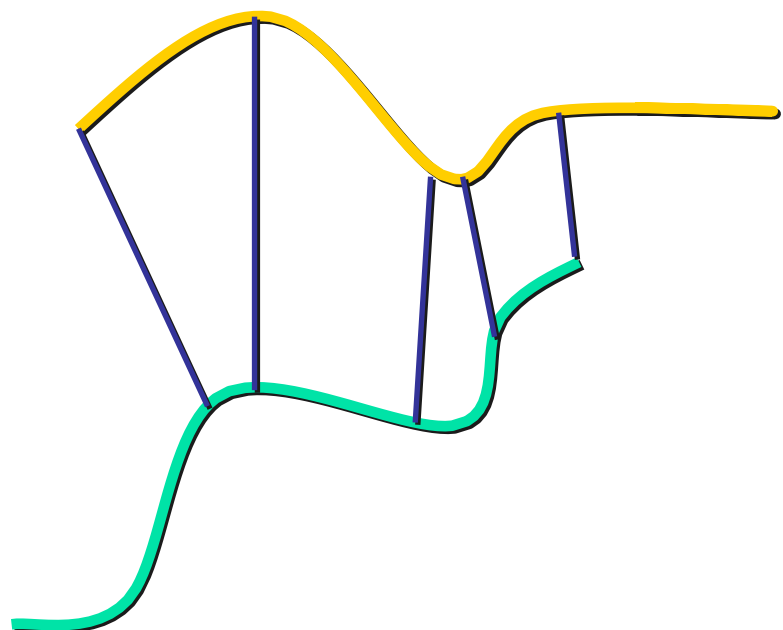
# ICP : Iterative Closest Points

Si on connaît une correspondance entre deux pointsets, on peut les aligner (trouver une rotation et une translation pour aligner un sur l'autre).



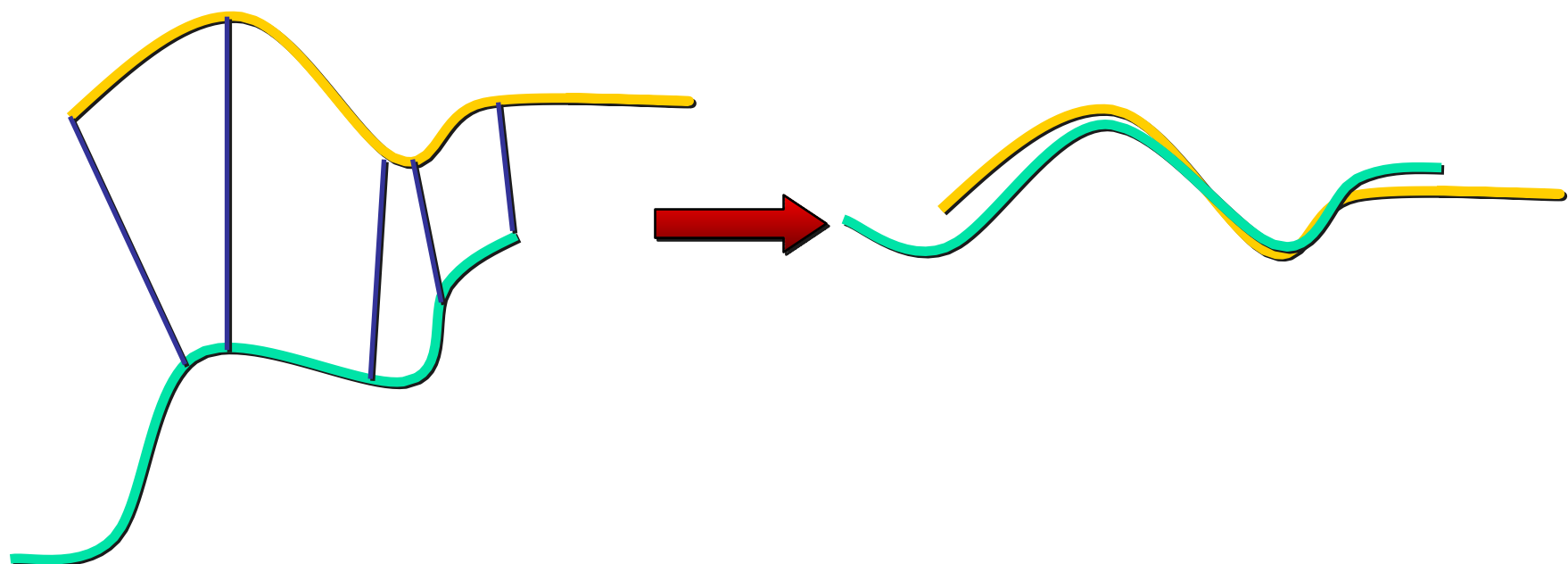
# ICP : Iterative Closest Points

Si les deux pointsets sont relativement proches, alors on peut dire que le point le plus proche dans le pointset vert est une bonne correspondance avec un point dans le pointset jaune.



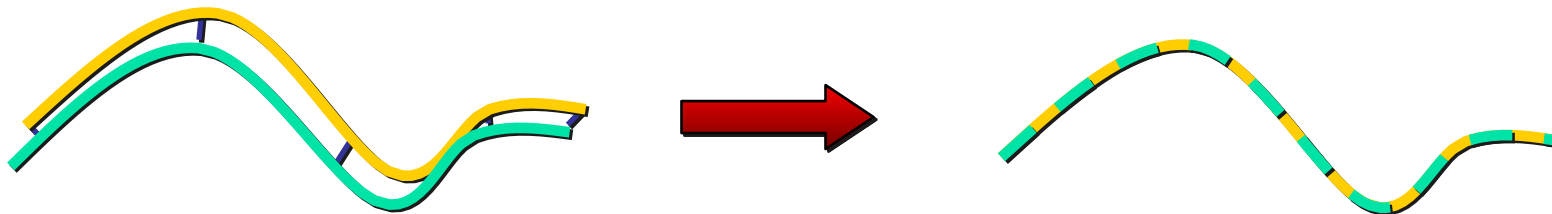
# ICP : Iterative Closest Points

Ce ne sera pas parfait, mais l'alignement sera meilleur



# ICP : Iterative Closest Points

Et en iterant, cela finit par converger (si il y a suffisamment d'overlap dans les deux pointsets, et que l'alignement initial n'est pas non plus trop mauvais)



# Algorithme de base

Sélectionner (e.g. 1000) des points aléatoires

Associer au plus proche voisin

Rejeter paires avec une distance trop grande

Minimiser

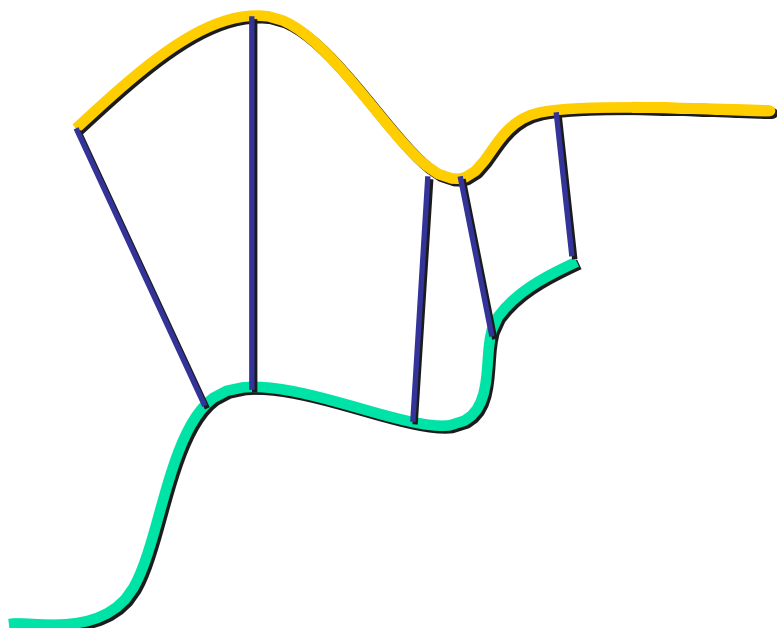
$$E := \sum_i (R\mathbf{p}_i + t - \mathbf{q}_i)^2$$

Solution :

<http://dl.acm.org/citation.cfm?id=250160>

# Correspondance

1) Trouver, pour chaque point  $p_i \in P$  le point le plus proche dans  $q_i \in Q$  et enregistrer la correspondance :  $\varphi(p_i) = q_i$

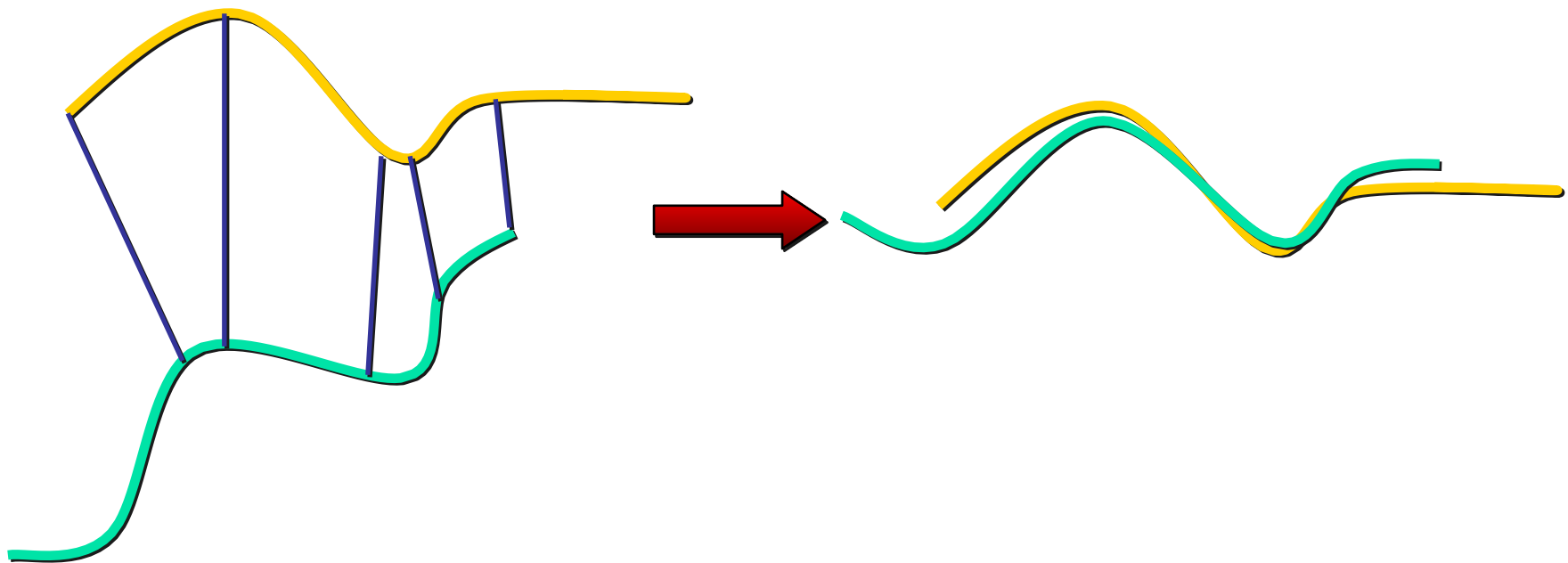


Trivial :  
plus proche voisin (kd-tree par ex)

# Alignment

2) Étant donnée une correspondance, trouver la transformation rigide  $(R, t)$  qui aligne au mieux les points correspondants

$$(R, t) = \operatorname{argmin} \sum_i w_i \|R \cdot p_i + t - q_i\|^2$$



# Alignment

2) Étant donnée une correspondance, trouver la transformation rigide  $(R, t)$  qui aligne au mieux les points correspondants

$$(R, t) = \operatorname{argmin} \sum_i w_i \|R \cdot p_i + t - q_i\|^2$$

Théorème : la transformation optimale aligne les centroides.

$$p = \sum_i w_i p_i / \sum_i w_i$$

centroïdes

$$p_i' = p_i - p$$

recentrés

$$\sum_i w_i p_i' = 0$$

$$q = \sum_i w_i q_i / \sum_i w_i$$

$$q_i' = q_i - q$$

$$\sum_i w_i q_i' = 0$$

# Alignment

2) Étant donnée une correspondance, trouver la transformation rigide  $(R, t)$  qui aligne au mieux les points correspondants

$$(R, t) = \operatorname{argmin} \sum_i w_i \|R \cdot p_i + t - q_i\|^2$$

Théorème : la transformation optimale aligne les centroides.

$$\begin{array}{lll} p = \sum_i w_i p_i / \sum_i w_i & p_i' = p_i - p & \sum_i w_i p_i' = 0 \\ \text{centroïdes} & \text{recentrés} & \\ q = \sum_i w_i q_i / \sum_i w_i & q_i' = q_i - q & \sum_i w_i q_i' = 0 \end{array}$$

$$\begin{aligned} \|R \cdot p_i + t - q_i\|^2 &= \|(R \cdot p_i' - q_i') + (R \cdot p + t - q)\|^2 \\ &= \|R \cdot p_i' - q_i'\|^2 + \|R \cdot p + t - q\|^2 + 2(R \cdot p_i' - q_i')^T \cdot (R \cdot p + t - q) \end{aligned}$$

# Alignment

2) Étant donnée une correspondance, trouver la transformation rigide  $(R, t)$  qui aligne au mieux les points correspondants

$$(R, t) = \operatorname{argmin} \sum_i w_i \|R \cdot p_i + t - q_i\|^2$$

Théorème : la transformation optimale aligne les centroides.

$$\begin{aligned} p &= \sum_i w_i p_i / \sum_i w_i & p_i' &= p_i - p & \sum_i w_i p_i' &= 0 \\ &\text{centroïdes} & &\text{recentrés} & & \\ q &= \sum_i w_i q_i / \sum_i w_i & q_i' &= q_i - q & \sum_i w_i q_i' &= 0 \end{aligned}$$

$$\begin{aligned} \|R \cdot p_i + t - q_i\|^2 &= \|(R \cdot p_i' - q_i') + (R \cdot p + t - q)\|^2 \\ &= \|(R \cdot p_i' - q_i')\|^2 + \|(R \cdot p + t - q)\|^2 + 2(R \cdot p_i' - q_i')^T \cdot (R \cdot p + t - q) \end{aligned}$$

$$\begin{aligned} \sum_i w_i \|R \cdot p_i + t - q_i\|^2 &= \sum_i w_i (\|(R \cdot p_i' - q_i')\|^2 + \|(R \cdot p + t - q)\|^2) + 2(R \cdot (\sum_i w_i p_i') - (\sum_i w_i q_i'))^T \cdot (R \cdot p + t - q) \\ &= \sum_i w_i (\|(R \cdot p_i' - q_i')\|^2 + \|(R \cdot p + t - q)\|^2) \end{aligned}$$

# Alignment

$$(R, t) = \operatorname{argmin} \sum_i w_i (\| (R \cdot p_i' - q_i') \|^2 + \| (R \cdot p + t - q) \|^2)$$

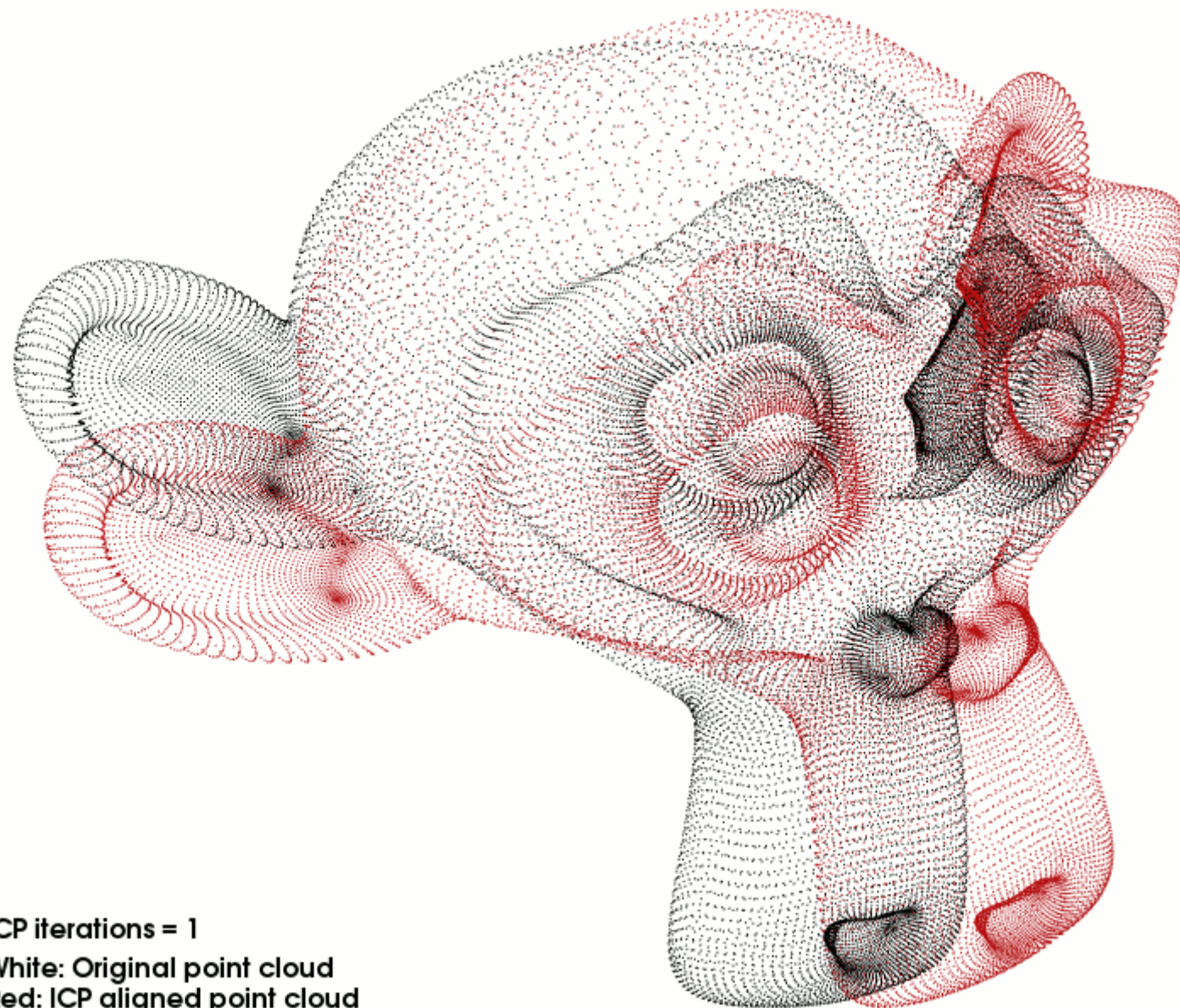
avec  $p = \sum_i w_i p_i / \sum_i w_i$        $p_i' = p_i - p$   
 $q = \sum_i w_i q_i / \sum_i w_i$       centroides,       $q_i' = q_i - q$       recentrés

Procédure :

Trouver R qui minimise :  $\sum_i w_i \| (R \cdot p_i' - q_i') \|^2$       (Problème de Procrustes)

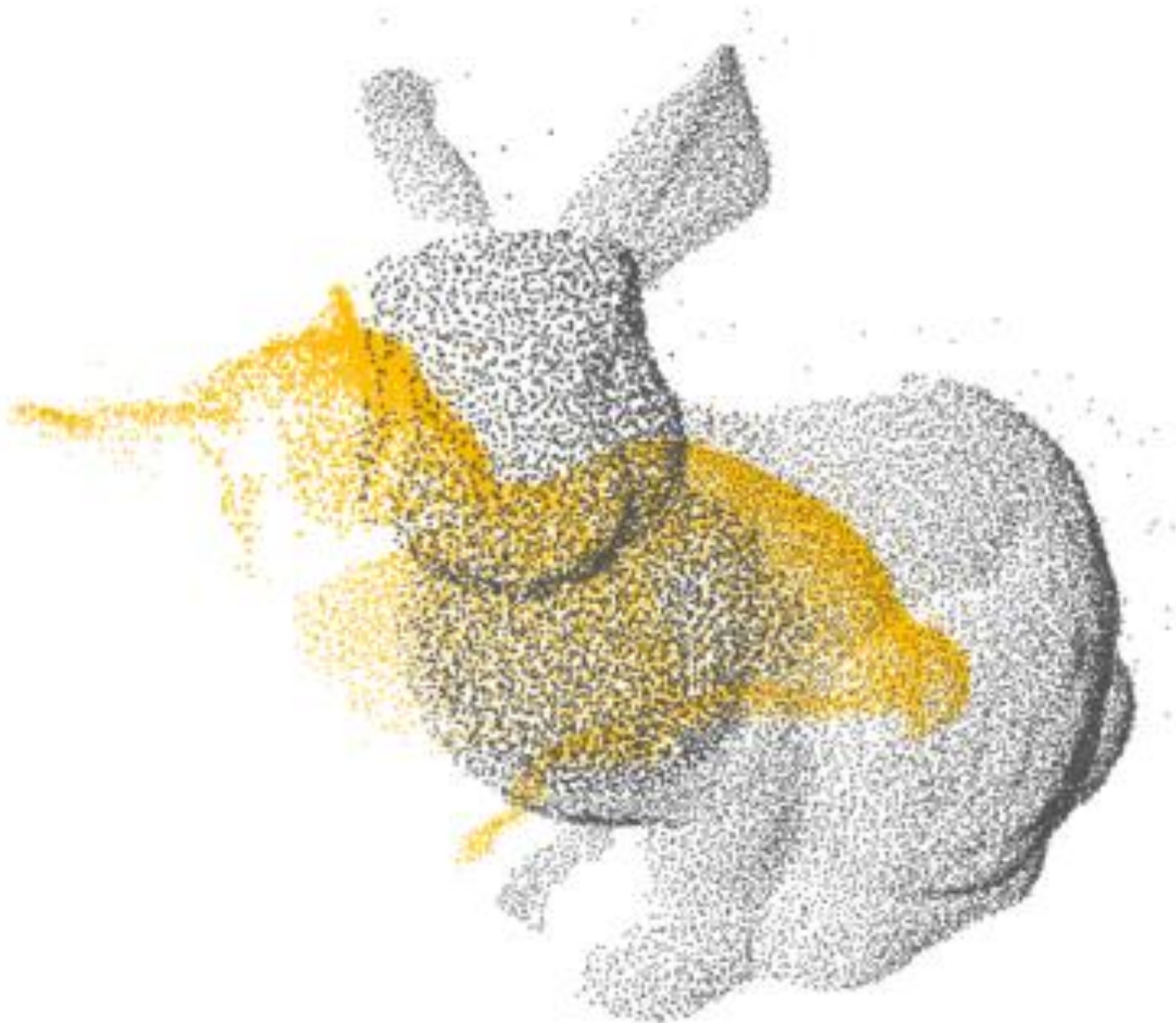
$$\left\{ \begin{array}{l} C = \sum_i w_i q_i' \cdot p_i'^T \\ C = U \cdot S \cdot V^T \quad (\text{décomposition en valeurs singulières}) \\ R = U \cdot \operatorname{diag}(1, 1, \operatorname{sign}(U \cdot V^T)) \cdot V^T \end{array} \right.$$

Puis t est donné par :       $t = q - R \cdot p$



**ICP iterations = 1**

White: Original point cloud  
Red: ICP aligned point cloud

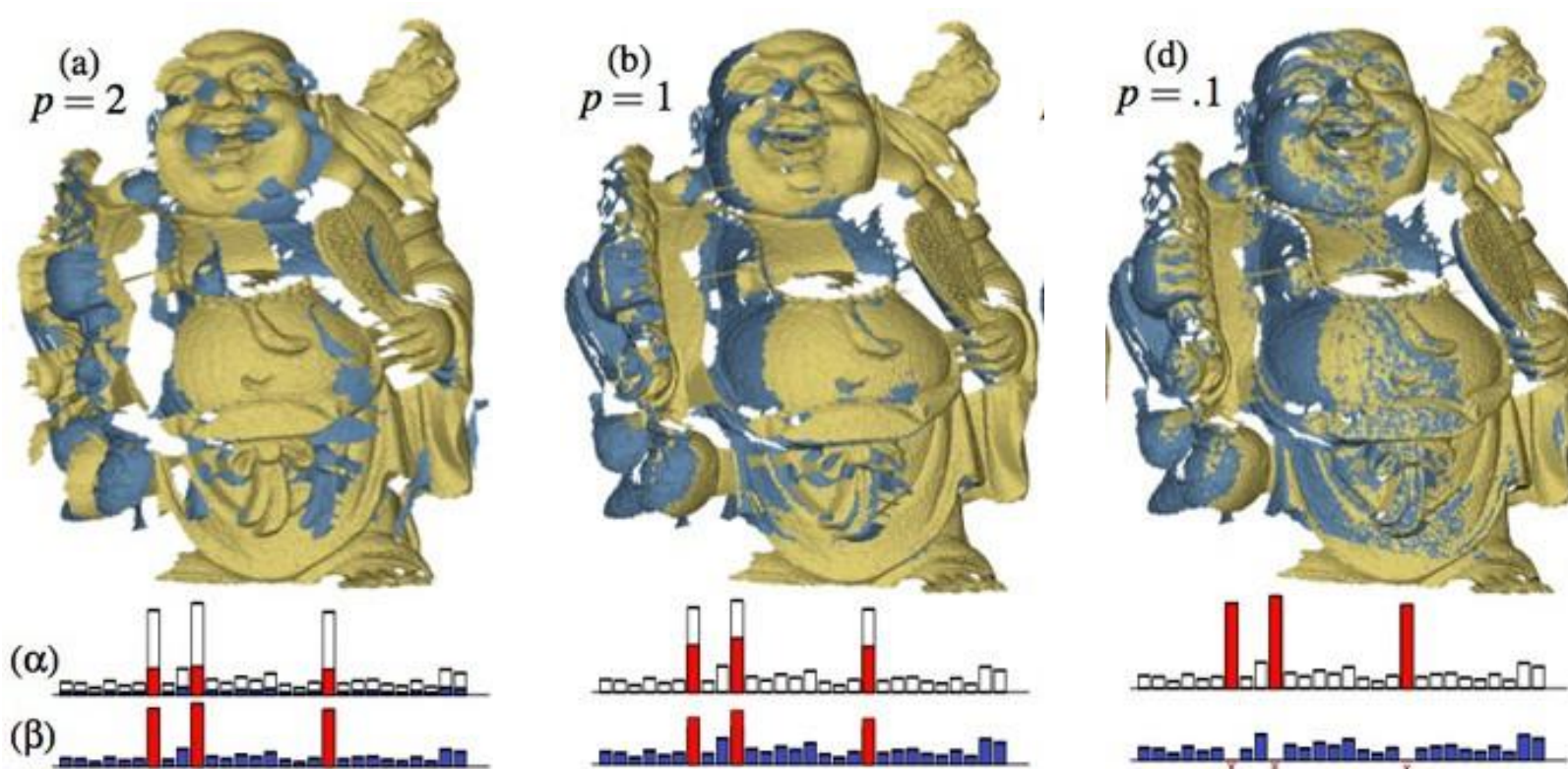


# Variantes

$$(R, t) = \operatorname{argmin} \sum_i w_i \|R.p_i + t - q_i\|^2$$

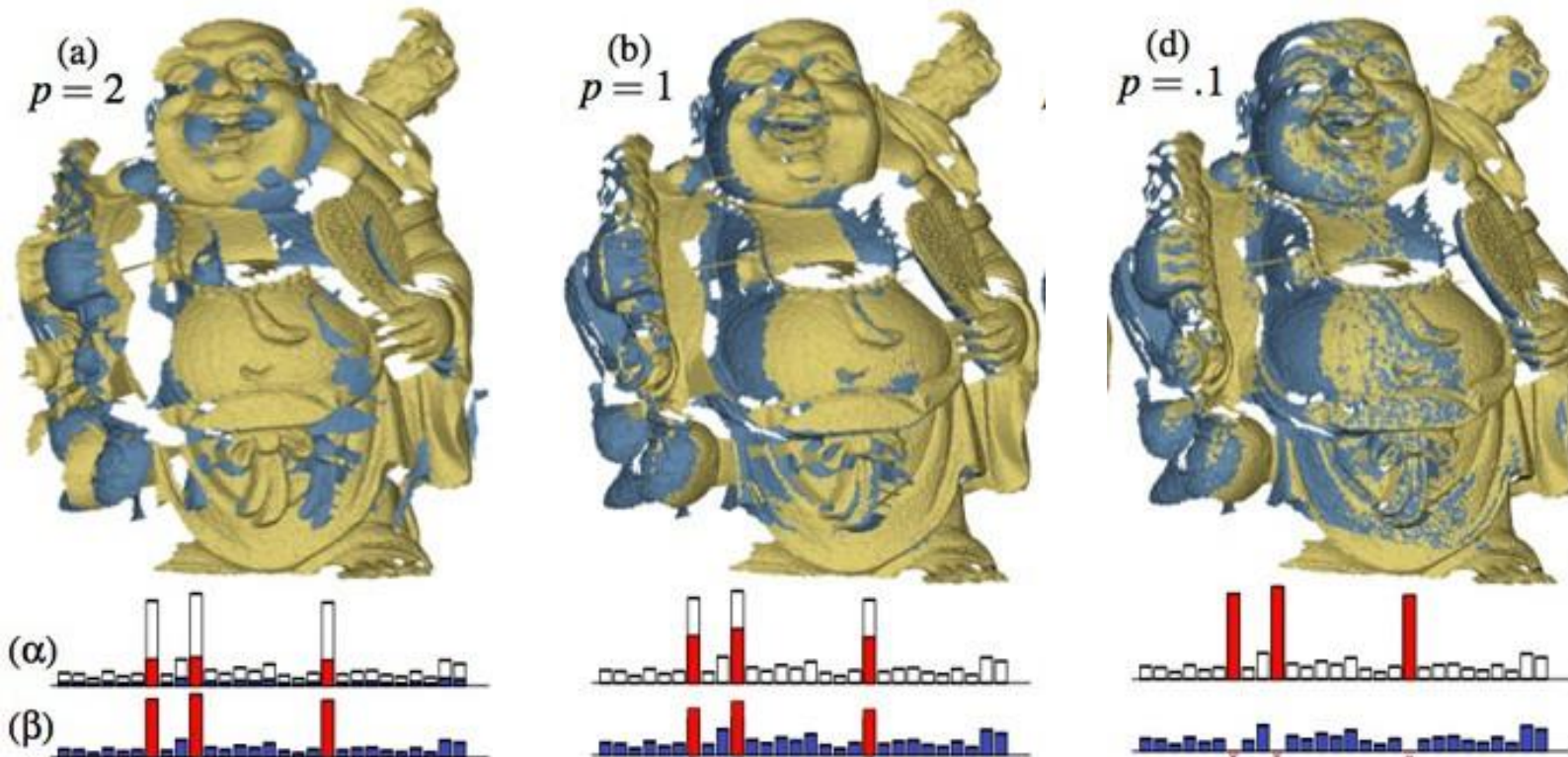
- Quels sont des poids pertinents ?
- Doit-on considérer tous les points de P ?
- Doit-on associer un point de Q nécessairement ?
- Peut-on aligner P sur Q ET Q sur P en même temps ?
- En présence d'outliers, peut-on ignorer certains points ?
  - RANSAC
  - Normes insensibles aux outliers :  $(R, t) = \operatorname{argmin} \sum_i w_i \|R.p_i + t - q_i\|^p$

# Application : « Sparse » ICP



[Bouaziz et al. 2013] : Sparse Iterative Closest Point

# Vidéo démo

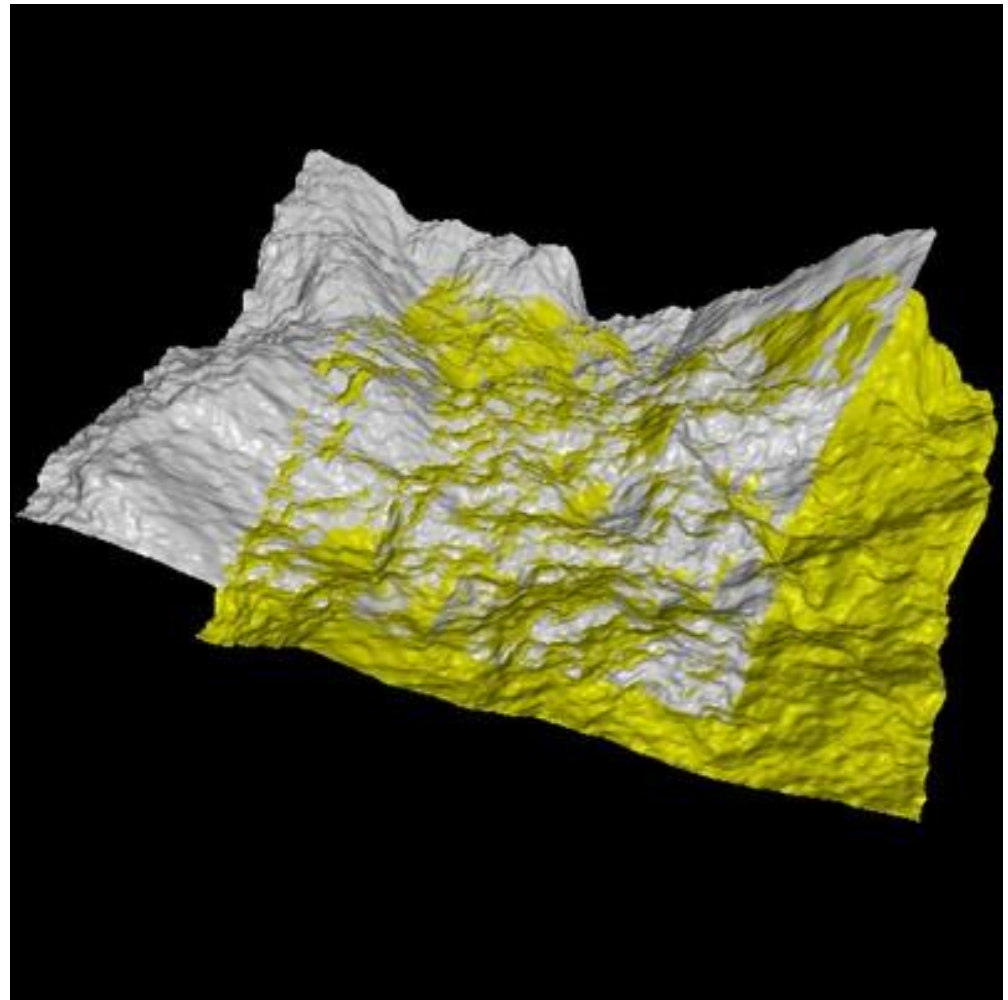
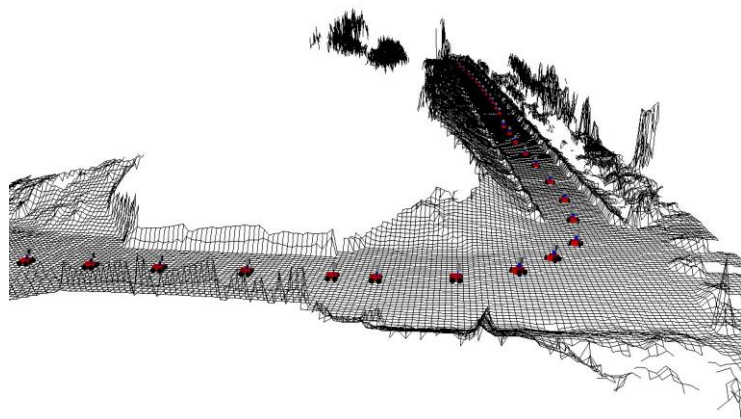


<https://www.youtube.com/watch?v=ii2vHBwlmo8>

# Questions ?

Sources cours de Jean-Marc Thiery :  
<https://perso.telecom-paristech.fr/jthiery/>  
Roi Pooran ETH

# Motivation



Goal: Find local transformation to align points

# The Problem

- Given two corresponding point sets:

$$X = \{x_1, \dots, x_{N_x}\}$$

$$P = \{p_1, \dots, p_{N_p}\}$$

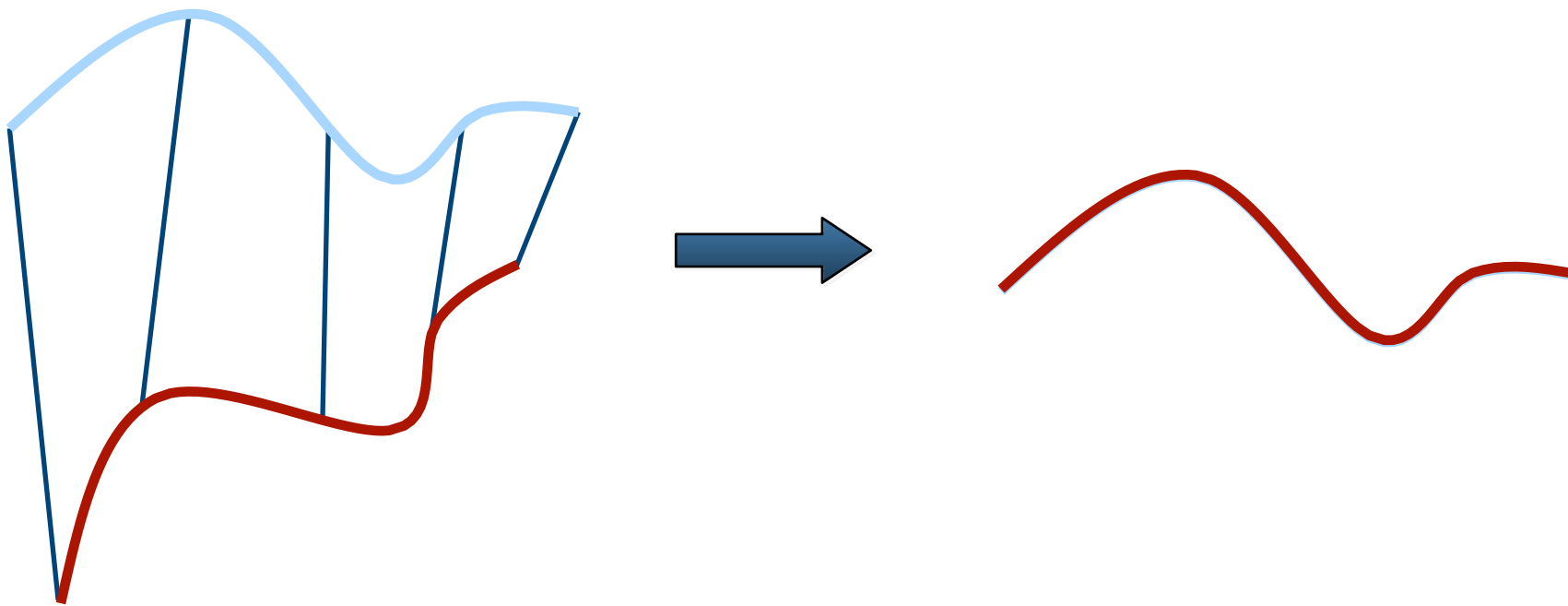
- Wanted: Translation  $t$  and rotation  $R$  that minimize the sum of the squared error:

$$E(R, t) = \frac{1}{N_p} \sum_{i=1}^{N_p} \|x_i - Rp_i - t\|^2$$

Where  $x_i$  and  $p_i$  are corresponding points

# Key Idea

- If the correct correspondences are known,  
the correct relative rotation/translation can  
be calculated in **closed form**



# Center of Mass

$$\mu_x = \frac{1}{N_x} \sum_{i=1}^{N_x} x_i \quad \text{and} \quad \mu_p = \frac{1}{N_p} \sum_{i=1}^{N_p} p_i$$

are the centers of mass of the two point sets

## Idea:

- Subtract the corresponding center of mass from every point in the two point sets before calculating the transformation
- The resulting point sets are:

$$X' = \{x_i - \mu_x\} = \{x'_i\} \quad \text{and} \quad P' = \{p_i - \mu_p\} = \{p'_i\}$$

# Singular Value Decomposition

Let  $W = \sum_{i=1}^{N_p} x'_i p_i'^T$

denote the singular value decomposition (SVD) of  $W$  by:

$$W = U \begin{bmatrix} \sigma_1 & 0 & 0 \\ 0 & \sigma_2 & 0 \\ 0 & 0 & \sigma_3 \end{bmatrix} V^T$$

where  $U, V \in \mathbb{R}^{3 \times 3}$  are unitary, and  
 $\sigma_1 \geq \sigma_2 \geq \sigma_3$  are the singular values of  $W$

# SVD

**Theorem** (without proof):

If  $\text{rank}(W) = 3$ , the optimal solution of  $E(R, t)$  is unique and is given by:

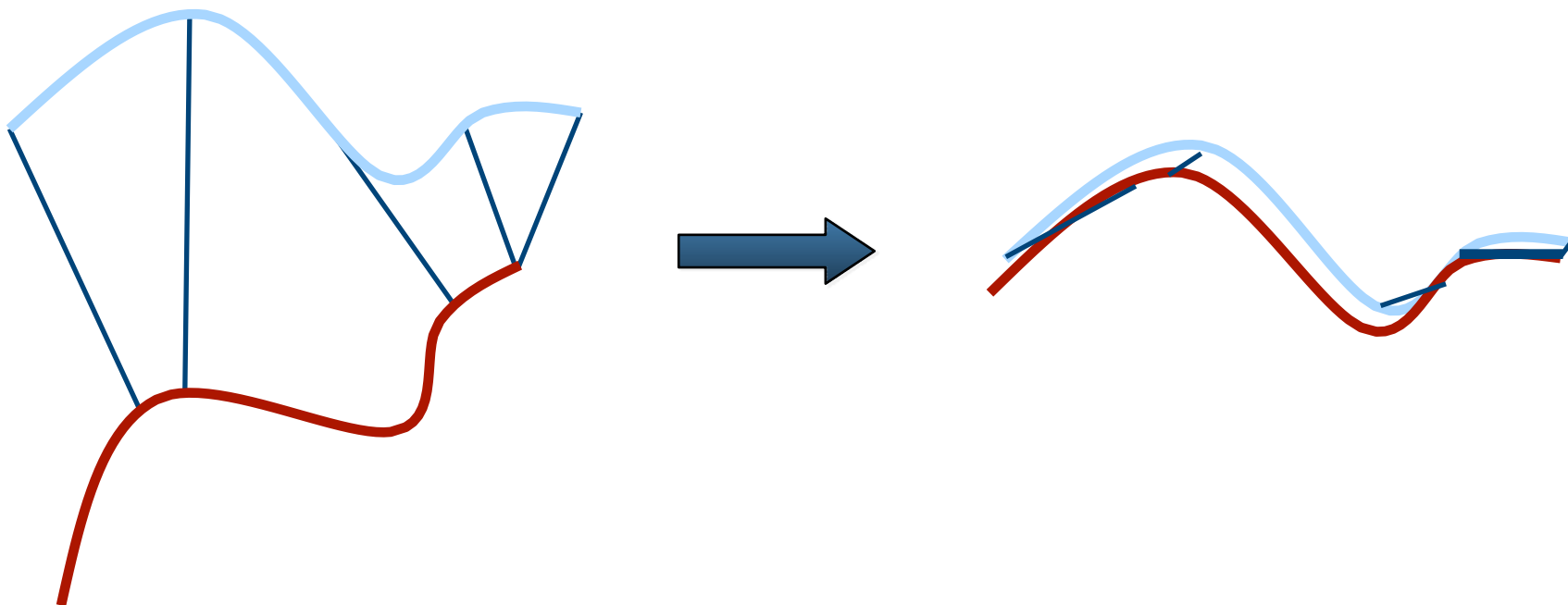
$$R = UV^T$$
$$t = \mu_x - R\mu_p$$

The minimal value of error function at  $(R, t)$  is:

$$E(R, t) = \sum_{i=1}^{N_p} (||x'_i||^2 + ||y'_i||^2) - 2(\sigma_1 + \sigma_2 + \sigma_3)$$

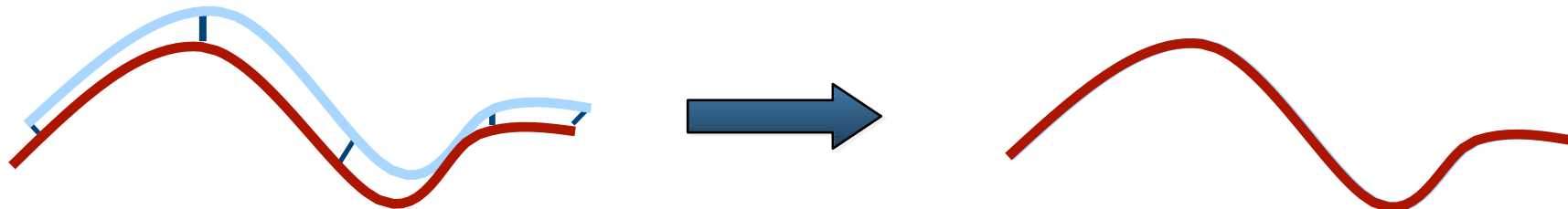
# ICP with Unknown Data Association

- If the correct correspondences are **not known**, it is generally impossible to determine the optimal relative rotation/translation in one step



# Iterative Closest Point (ICP) Algorithm

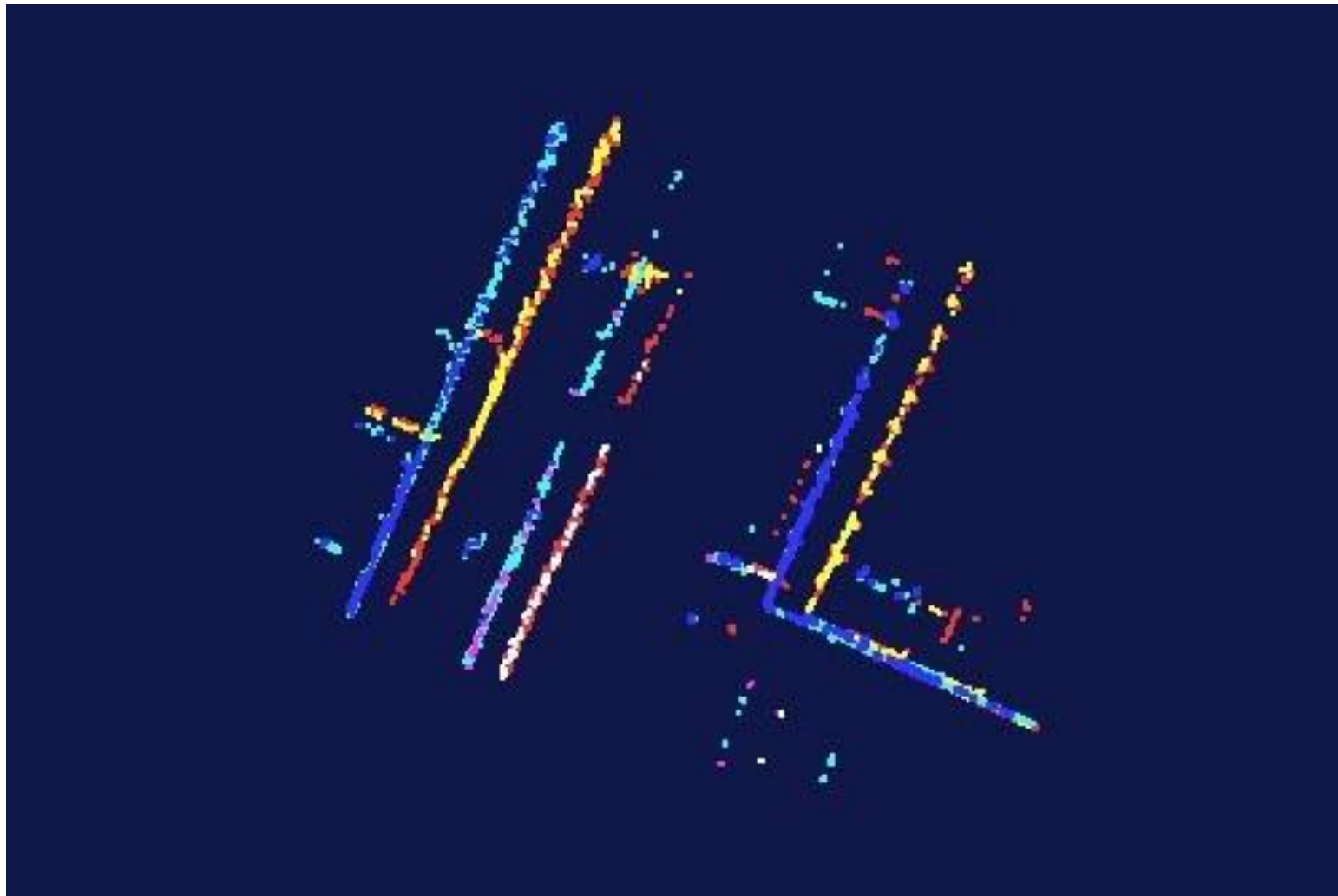
- Idea: Iterate to find alignment
- Iterative Closest Points  
[Besl & McKay 92]
- Converges if starting positions are  
“close enough”



# Basic ICP Algorithm

- Determine corresponding points
- Compute rotation  $R$ , translation  $t$  via SVD
- Apply  $R$  and  $t$  to the points of the set to be registered
- Compute the error  $E(R, t)$
- If error decreased and error > threshold
  - Repeat these steps
  - Stop and output final alignment, otherwise

# ICP Example



# ICP Variants

Variants on the following stages of ICP have been proposed:

1. Point subsets (from one or both point sets)
2. Weighting the correspondences
3. Data association
4. Rejecting certain (outlier) point pairs

# Performance of Variants

- Various aspects of performance:
  - Speed
  - Stability (local minima)
  - Tolerance wrt. noise and outliers
  - Basin of convergence  
(maximum initial misalignment)

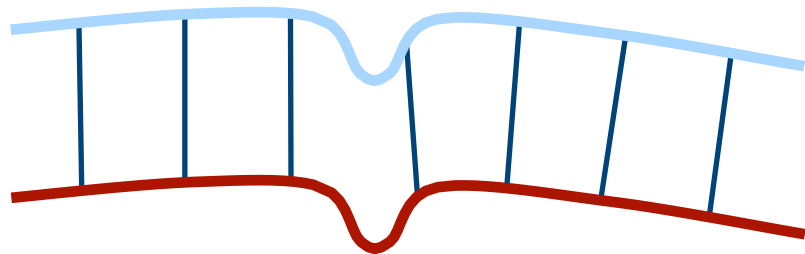
# ICP Variants

- 
1. Point subsets (from one or both point sets)
  2. Weighting the correspondences
  3. Data association
  4. Rejecting certain (outlier) point pairs

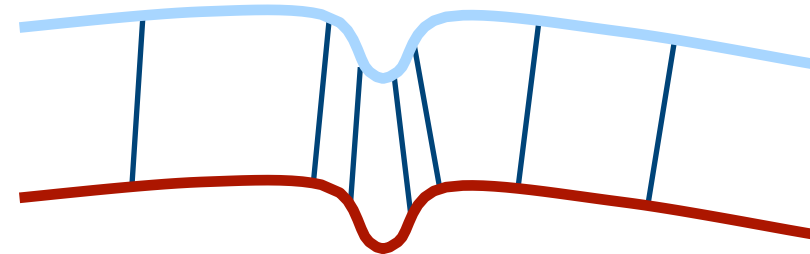
# Selecting Source Points

- Use all points
- Uniform sub-sampling
- Random sampling
- Feature based sampling
- Normal-space sampling
  - (Ensure that samples have normals distributed as uniformly as possible)

# Normal-Space Sampling



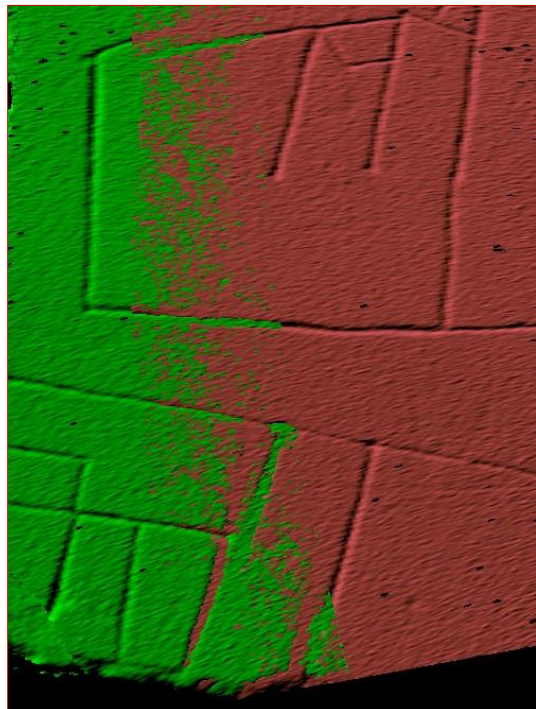
uniform sampling



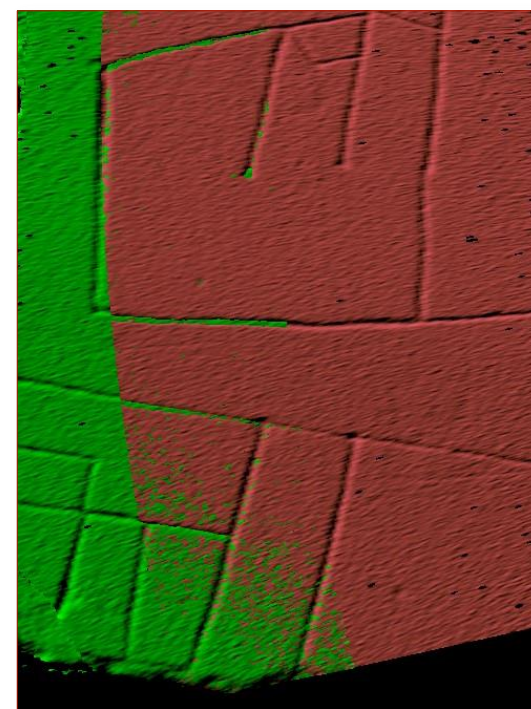
normal-space sampling

# Comparison

- Normal-space sampling better for mostly smooth areas with sparse features  
[Rusinkiewicz et al., 01]



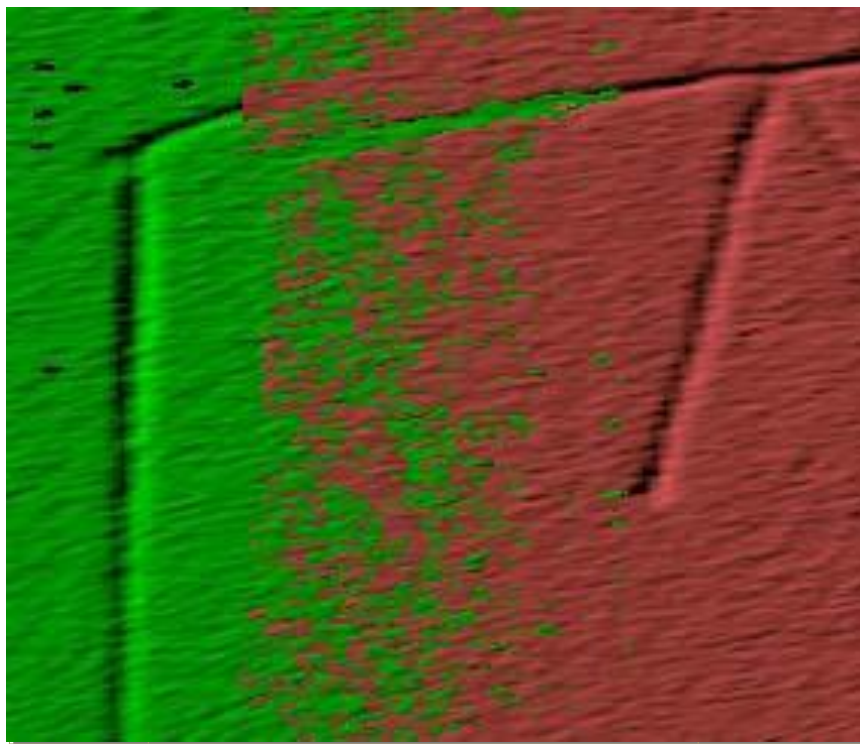
Random sampling



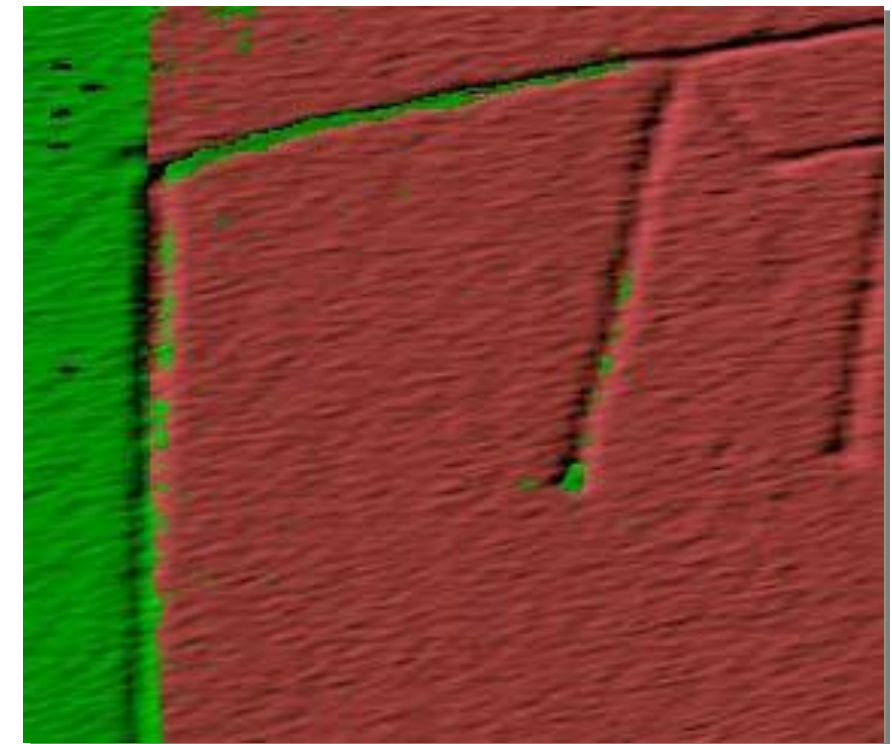
Normal-space sampling

# Comparison

- Normal-space sampling better for mostly smooth areas with sparse features  
[Rusinkiewicz et al., 01]



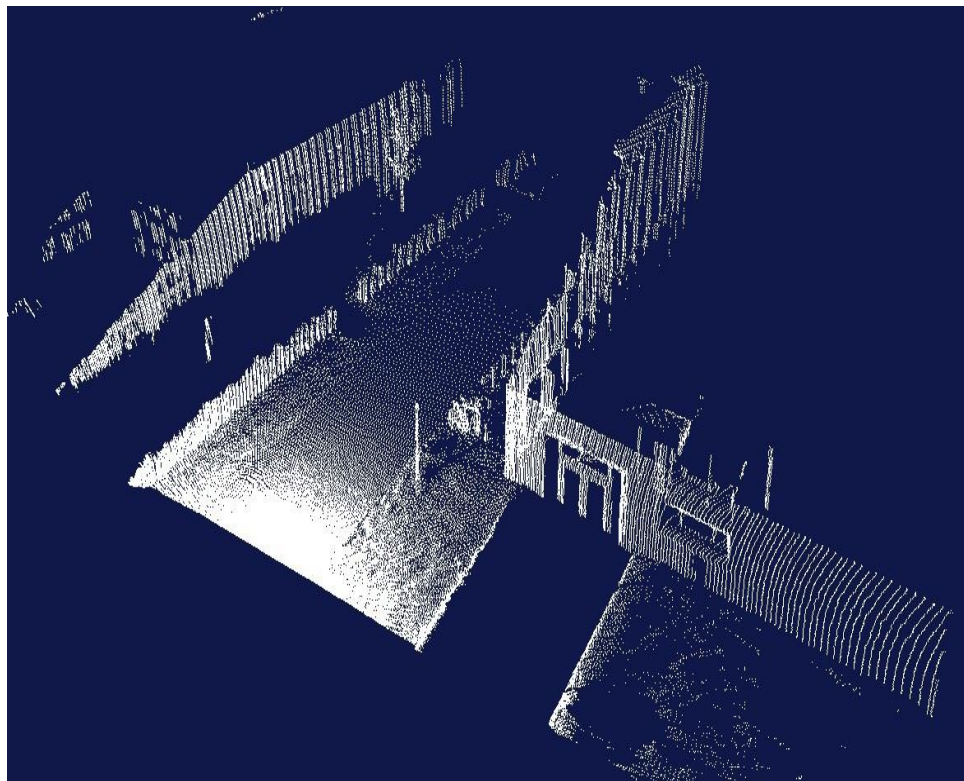
Random sampling



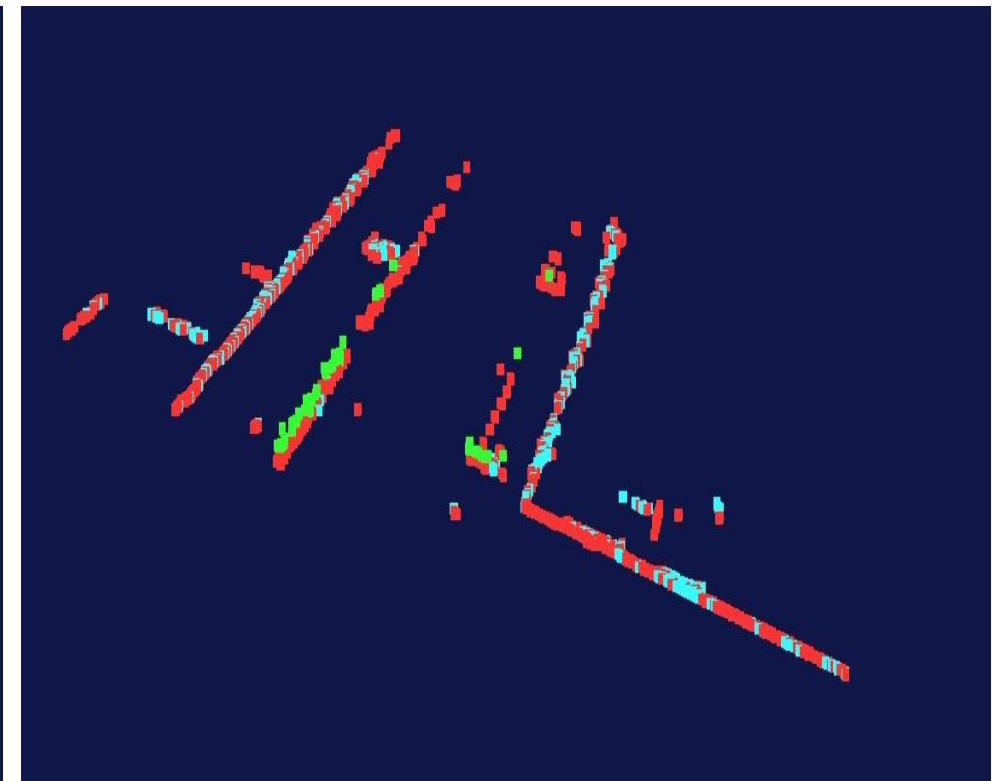
Normal-space sampling

# Feature-Based Sampling

- Try to find “important” points
- Decreases the number of correspondences to find
- Higher efficiency and higher accuracy
- Requires preprocessing

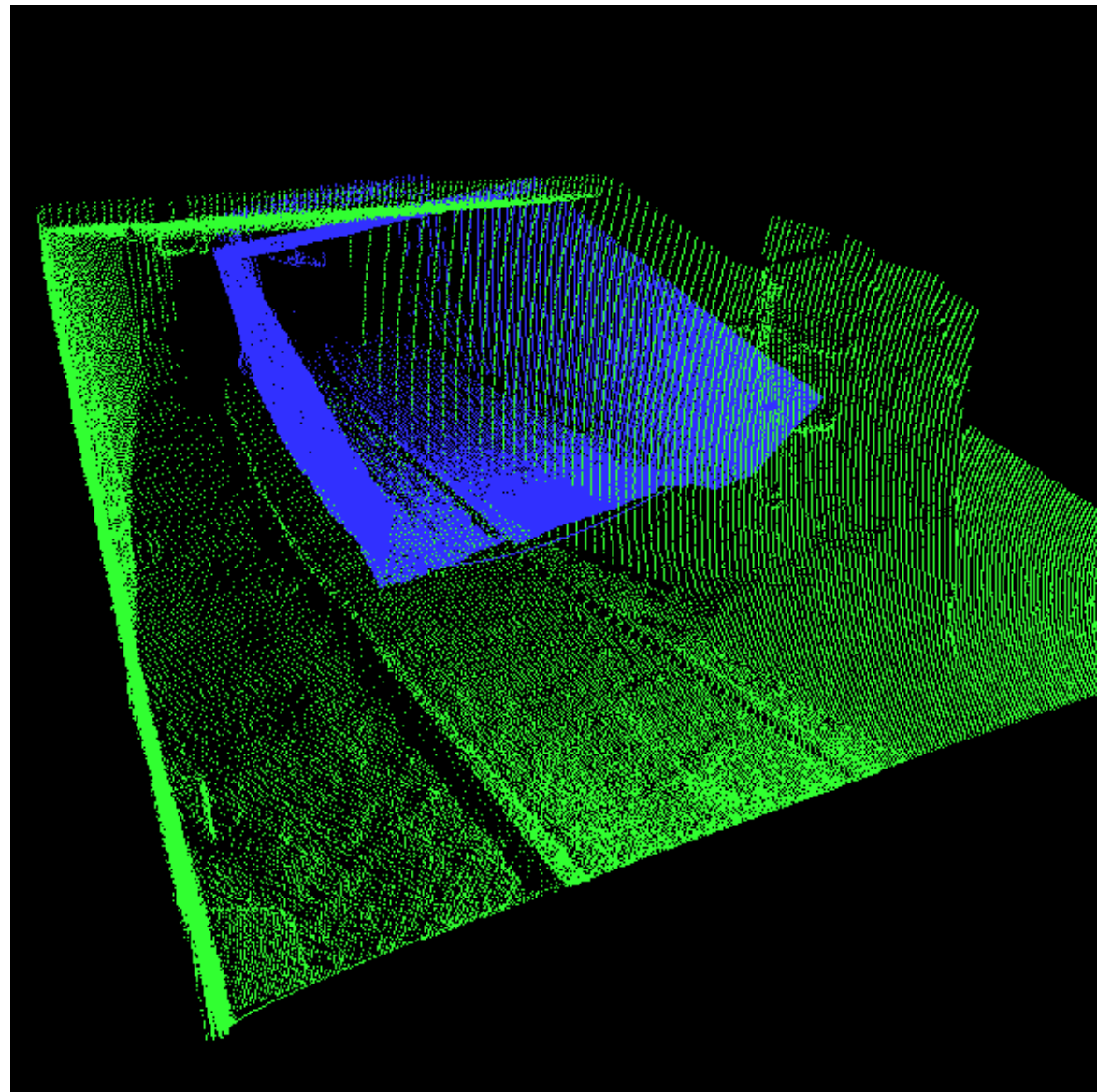


3D Scan (~200.000 Points)



Extracted Features (~5.000 Points)

# ICP Application (With Uniform Sampling)



[Nuechter et al., 04]

# ICP Variants

1. Point subsets (from one or both point sets)
2. Weighting the correspondences
3. Data association
4. Rejecting certain (outlier) point pairs



# Weighting

- Select a set of points for each set
- Match the selected points of the two sets
- **Weight the corresponding pairs**
- E.g., assign lower weights for points with higher point-point distances
- Determine transformation that minimizes the error function

# ICP Variants

1. Point subsets (from one or both point sets)
2. Weighting the correspondences
3. **Data association**
4. Rejecting certain (outlier) point pairs

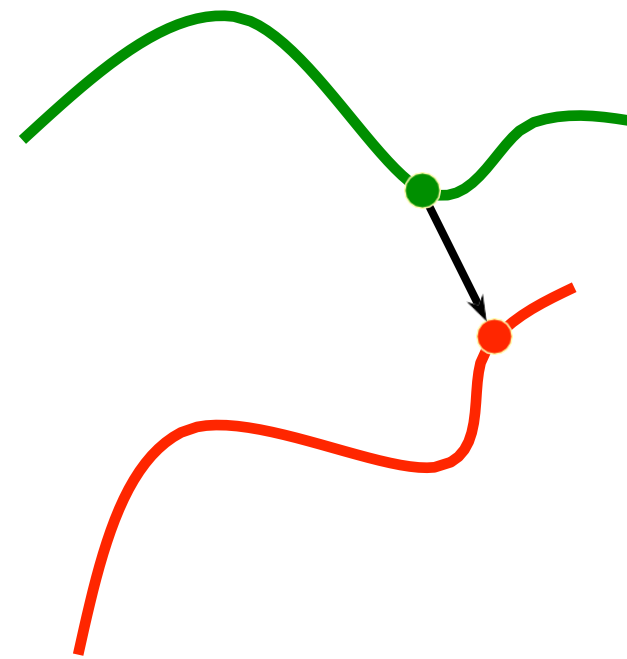


# Data Association

- Has greatest effect on convergence and speed
- Matching methods:
  - Closest point
  - Normal shooting
  - Closest compatible point
  - Projection-based

# Closest-Point Matching

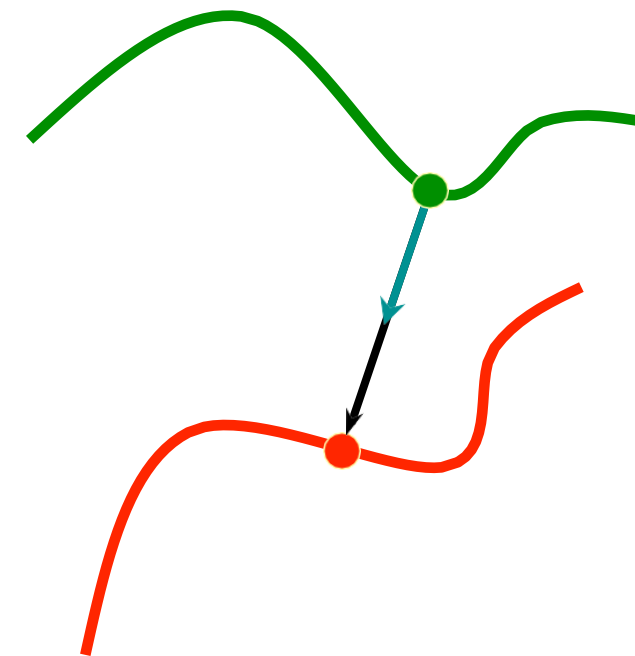
- Find closest point in other the point set  
(using kd-trees)



Generally stable, but slow convergence  
and requires preprocessing

# Normal Shooting

- Project along normal, intersect other point set



Slightly better convergence results than closest point for **smooth** structures, worse for noisy or complex structures

# Closest Compatible Point

- Improves the two previous variants by considering the **compatibility** of the points
- Only match compatible points
- Compatibility can be based on
  - Normals
  - Colors
  - Curvature
  - Higher-order derivatives
  - Other local features

# Point-to-Plane Error Metric

- Minimize the sum of the squared distance between a point and the tangent plane at its correspondence point [Chen & Medioni 91]

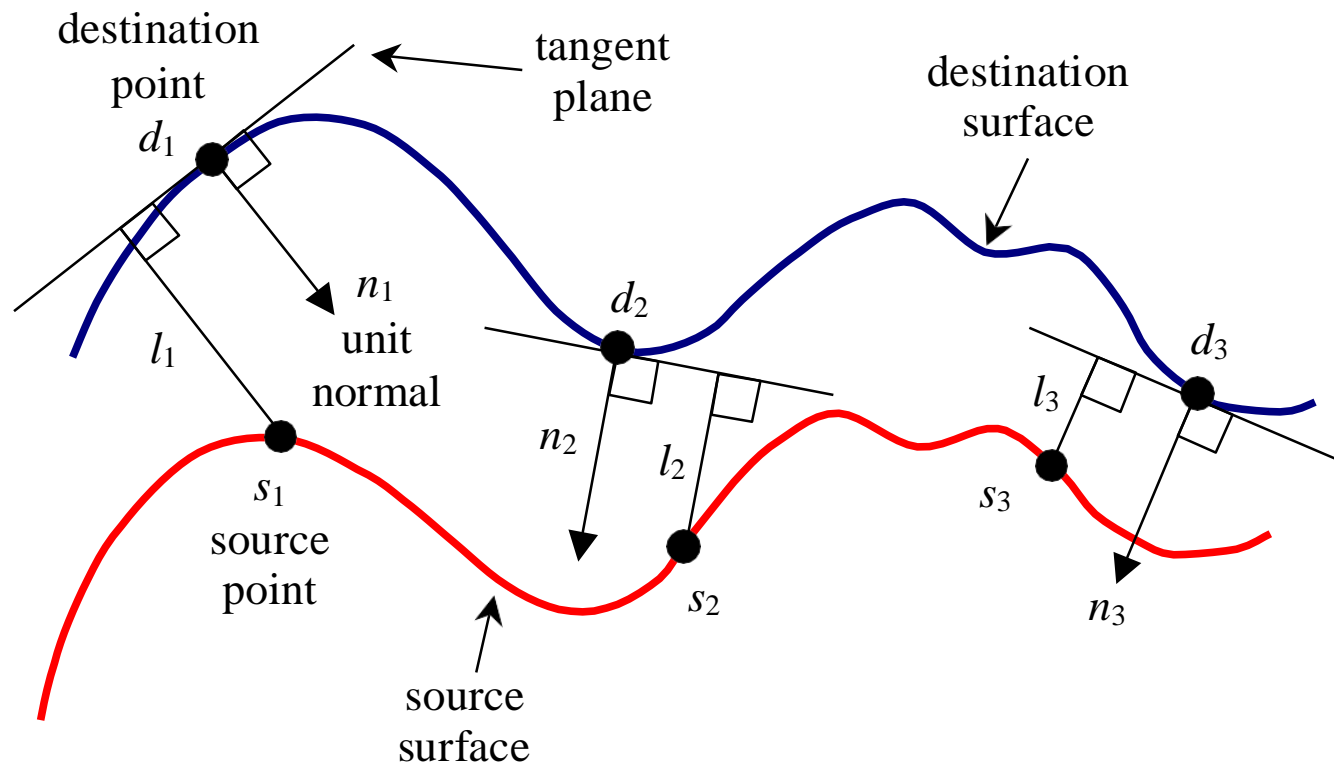


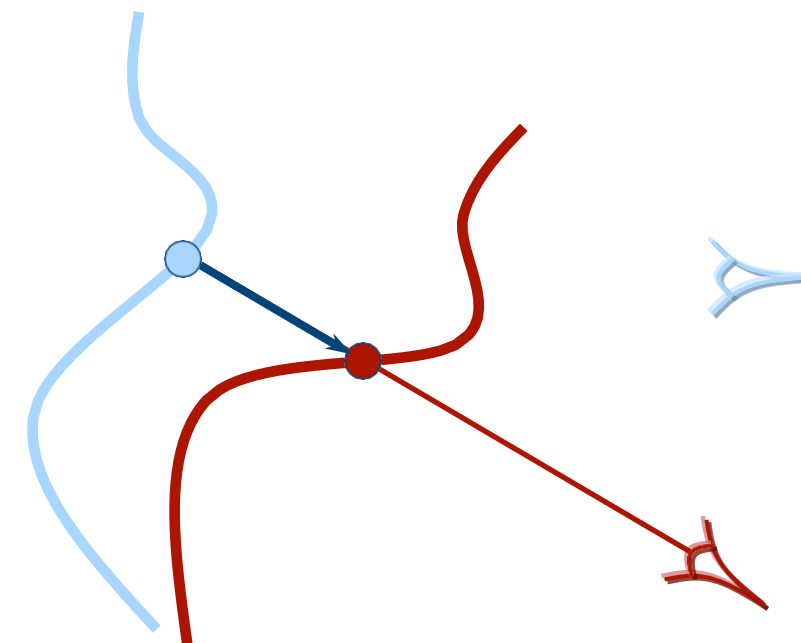
image from [Low 04]

# Point-to-Plane Error Metric

- Solved using standard nonlinear least squares methods (e.g., Levenberg-Marquardt method [Press92]).
- Each iteration generally slower than the point-to-point version, however, often significantly better convergence rates [Rusinkiewicz01]
- Using point-to-plane distance instead of point-to-point lets flat regions slide along each other [Chen & Medioni 91]

# Projection

- Finding the closest point is the most expensive stage of the ICP algorithm
- Idea: Simplified nearest neighbor search
- For range images, one can project the points according to the view-point [Blais 95]



# Projection-Based Matching

- Constant time
- Does not require precomputing a special data structure
- Requires point-to-plane error metric
- Slightly worse alignments per iteration

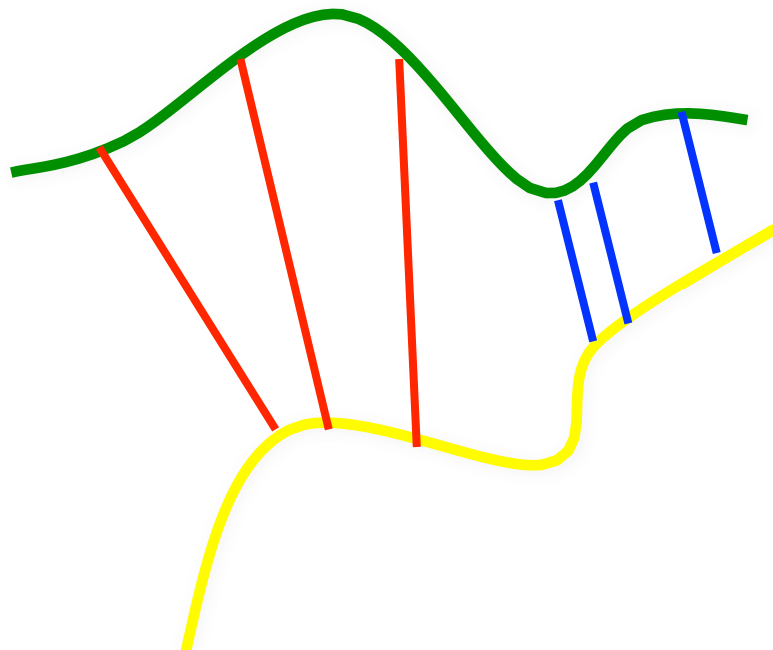
# ICP Variants

1. Point subsets (from one or both point sets)
2. Weighting the correspondences
3. Data association
4. Rejecting certain (outlier) point pairs



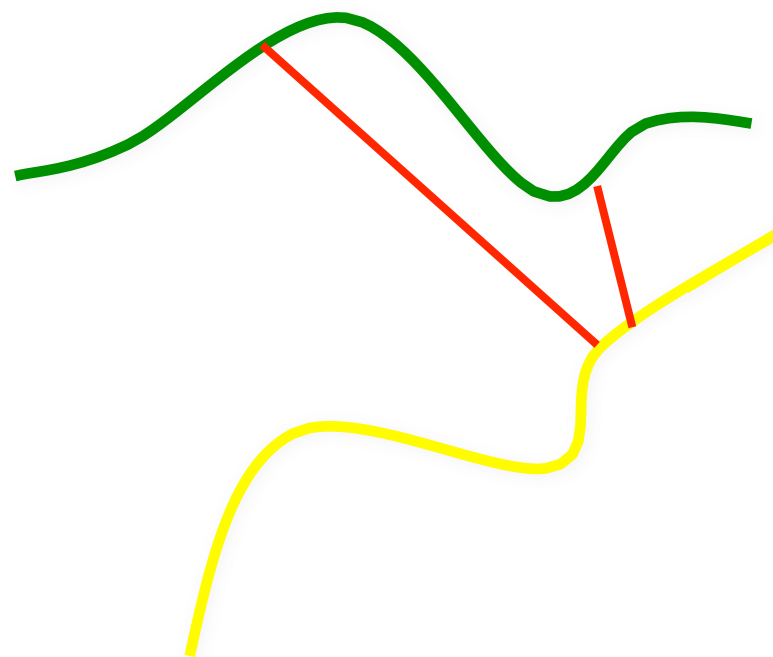
# Rejecting (Outlier) Point Pairs

- Corresponding points with point to point distance higher than a given threshold



# Rejecting (Outlier) Point Pairs

- Corresponding points with point to point distance higher than a given threshold
- Rejection of pairs that are not consistent with their neighboring pairs [Dorai 98]



# Rejecting (Outlier) Point Pairs

- Corresponding points with point to point distance higher than a given threshold
- Rejection of pairs that are not consistent with their neighboring pairs [Dorai 98]
- Sort all correspondences with respect to their error and delete the worst  $t\%$ , Trimmed ICP (TrICP) [Chetverikov et al. 02]
  - $t$  is used to estimate the overlap
  - Problem: Knowledge about the overlap is necessary or has to be estimated

# Summary: ICP Algorithm

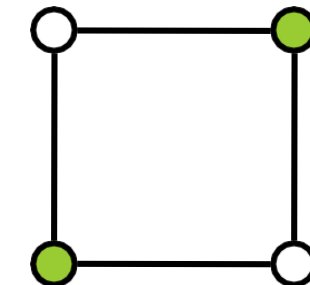
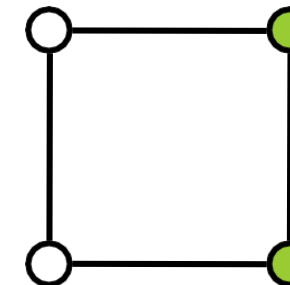
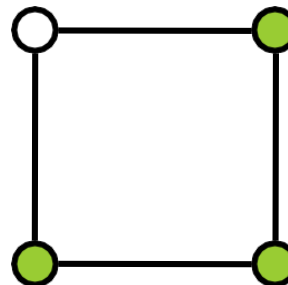
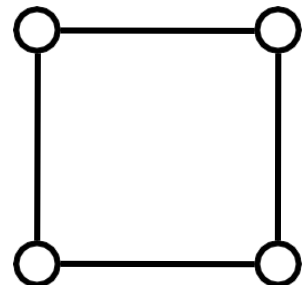
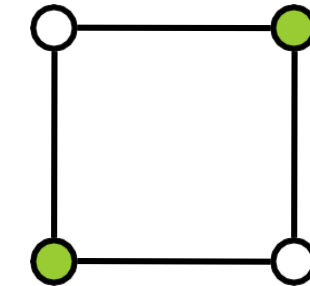
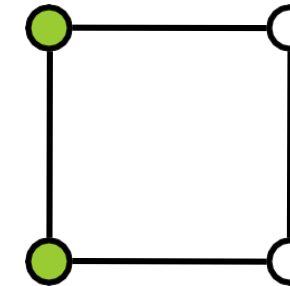
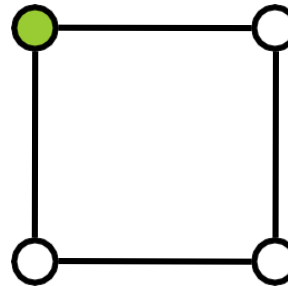
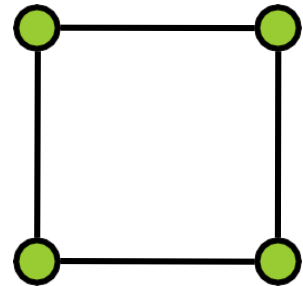
- Potentially sample Points
- Determine corresponding points
- Potentially weight / reject pairs
- Compute rotation  $R$ , translation  $t$  (e.g. SVD)
- Apply  $R$  and  $t$  to all points of the set to be registered
- Compute the error  $E(R,t)$
- If error decreased and error > threshold
  - Repeat to determine correspondences etc.
  - Stop and output final alignment, otherwise

# ICP Summary

- ICP is a powerful algorithm for calculating the displacement between scans
- The major problem is to determine the correct data associations
- Convergence speed depends on point matchings
- Given the correct data associations, the transformation can be computed efficiently using SVD

# Marching Squares

16 configurations différentes configurations en 2D  
4 classes (rotation, reflection, negation)

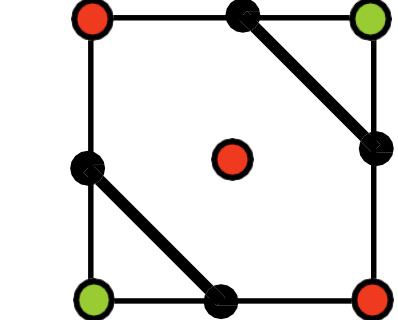
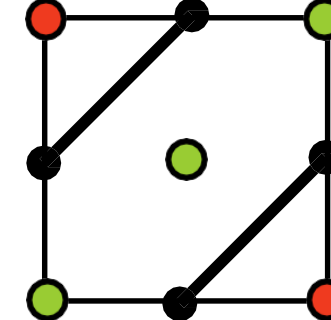
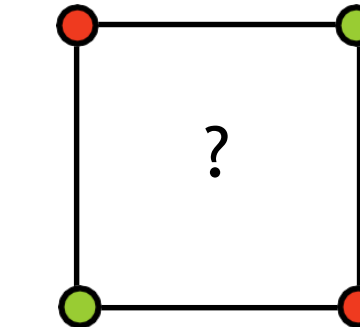
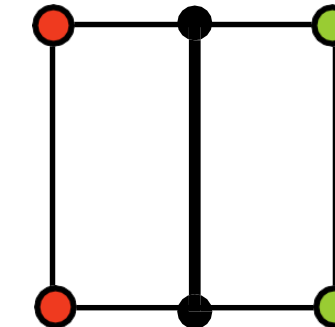
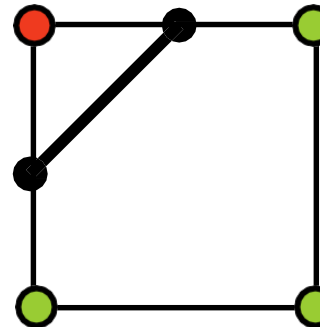
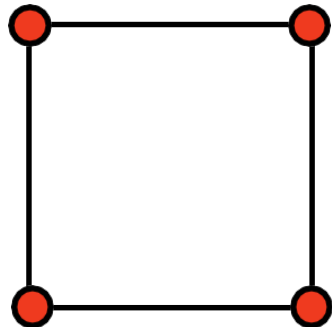


⋮

⋮

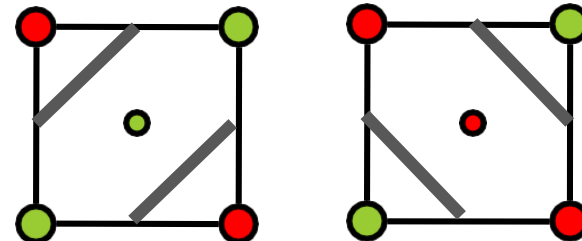
# Tessellation in 2D

4 classes (rotation, reflection, negation)

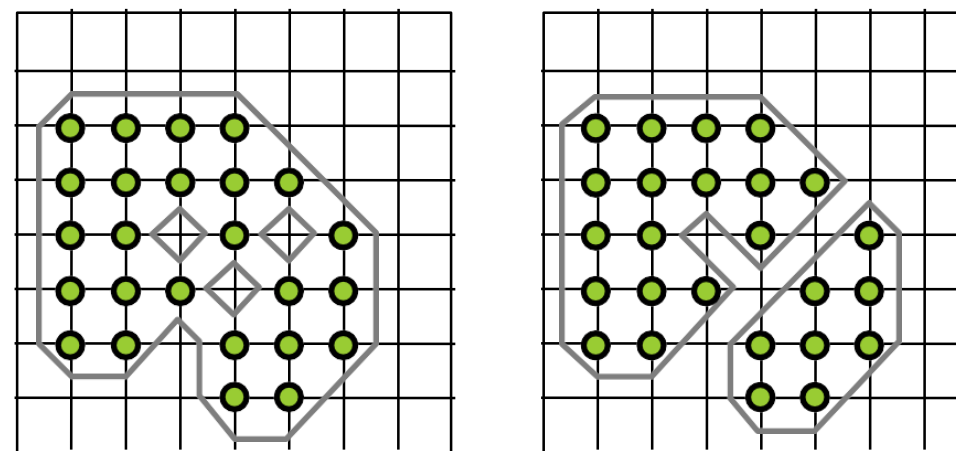


# Tessellation in 2D

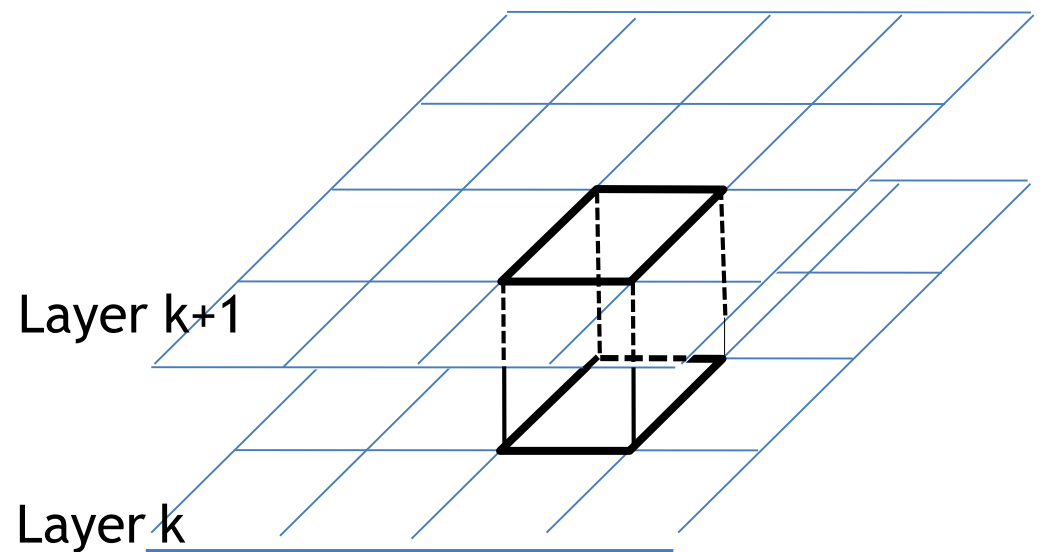
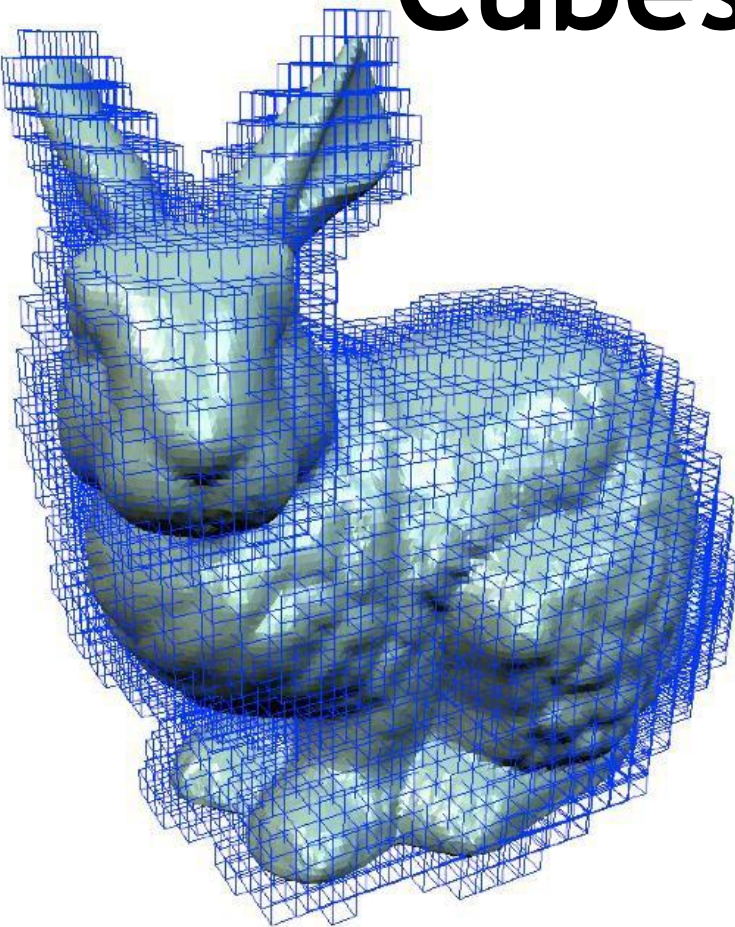
Case 4 is ambiguous:



Always pick consistently

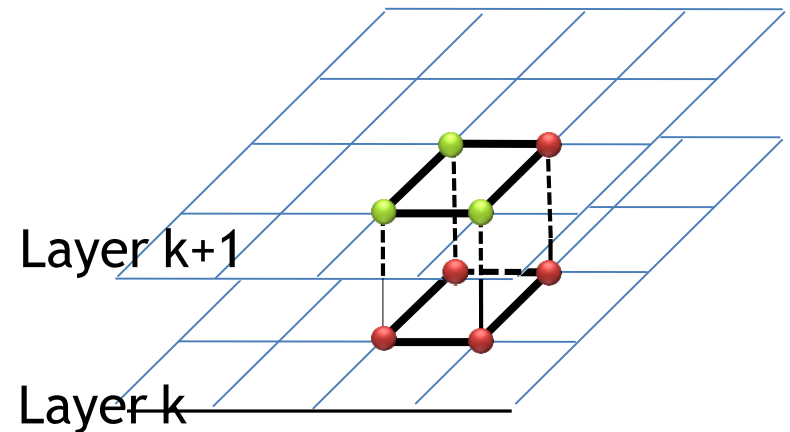


# 3D: Marching Cubes



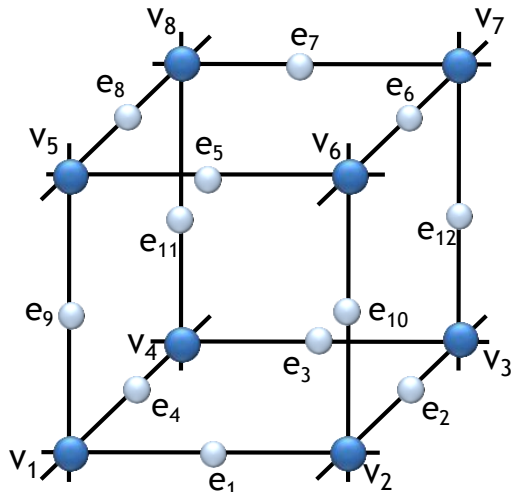
# Marching Cubes

- Marching Cubes (Lorensen and Cline 1987)
  1. Load 4 layers of the grid into memory
  2. Create a cube whose vertices lie on the two middle layers
  3. Classify the vertices of the cube according to the implicit function (inside, outside or on the surface)



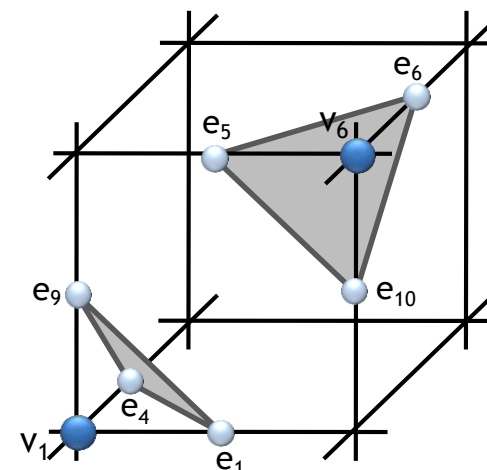
# Marching Cubes

4. Compute case index. We have  $2^8 = 256$  cases (0/1 for each of the eight vertices) - can store as 8 bit (1 byte) index.



index = 

$v_1$	$v_2$	$v_3$	$v_4$	$v_5$	$v_6$	$v_7$	$v_8$
-------	-------	-------	-------	-------	-------	-------	-------



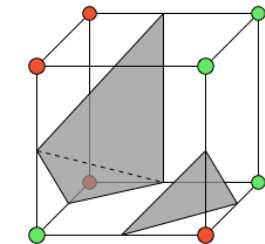
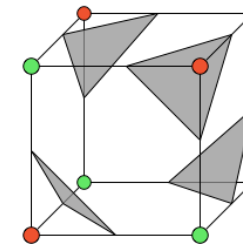
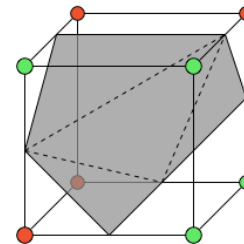
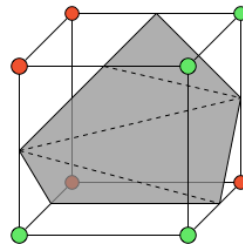
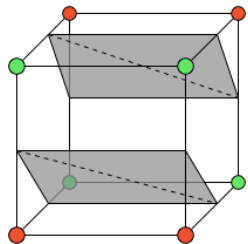
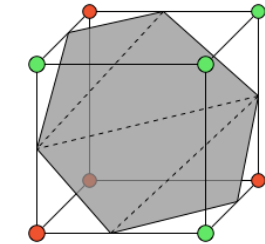
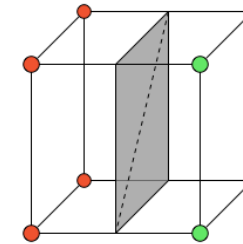
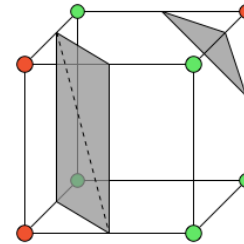
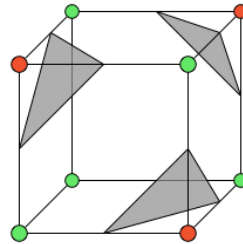
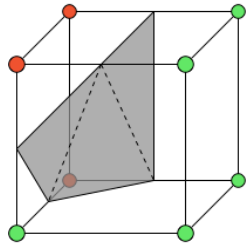
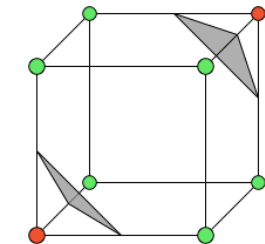
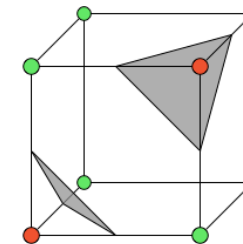
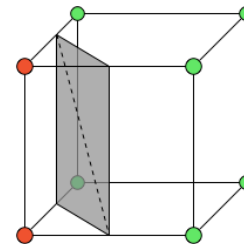
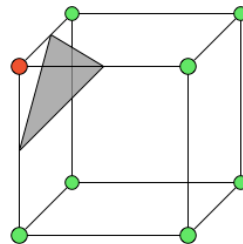
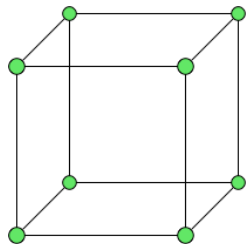
index = 

0	0	1	0	0	0	0	1
---	---	---	---	---	---	---	---

 = 33

# Marching Cubes

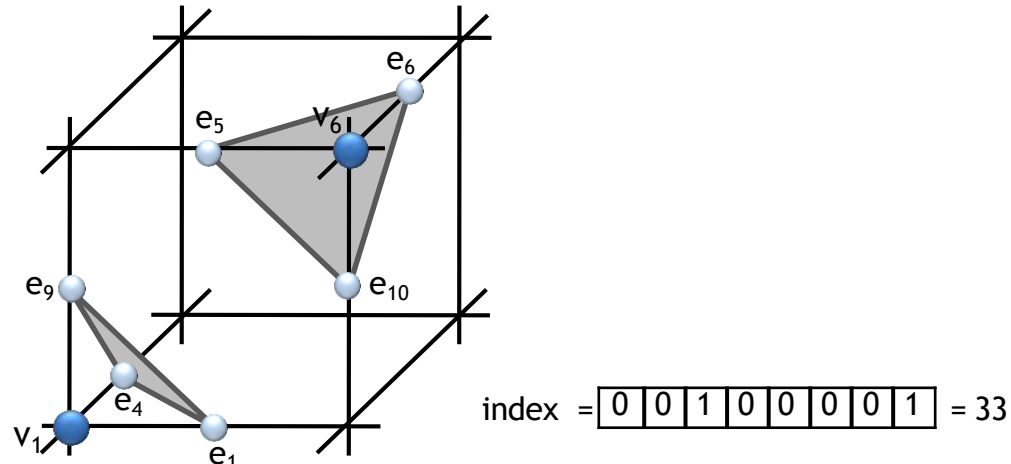
- Unique cases (by rotation, reflection and negation)



# Tessellation

## 3D - Marching Cubes

5. Using the case index, retrieve the connectivity in the look-up table
  - Example: the entry for index 33 in the look-up table indicates that the cut edges are  $e_1$ ;  $e_4$ ;  $e_5$ ;  $e_6$ ;  $e_9$  and  $e_{10}$ ; the output triangles are  $(e_1; e_9; e_4)$  and  $(e_5; e_{10}; e_6)$ .



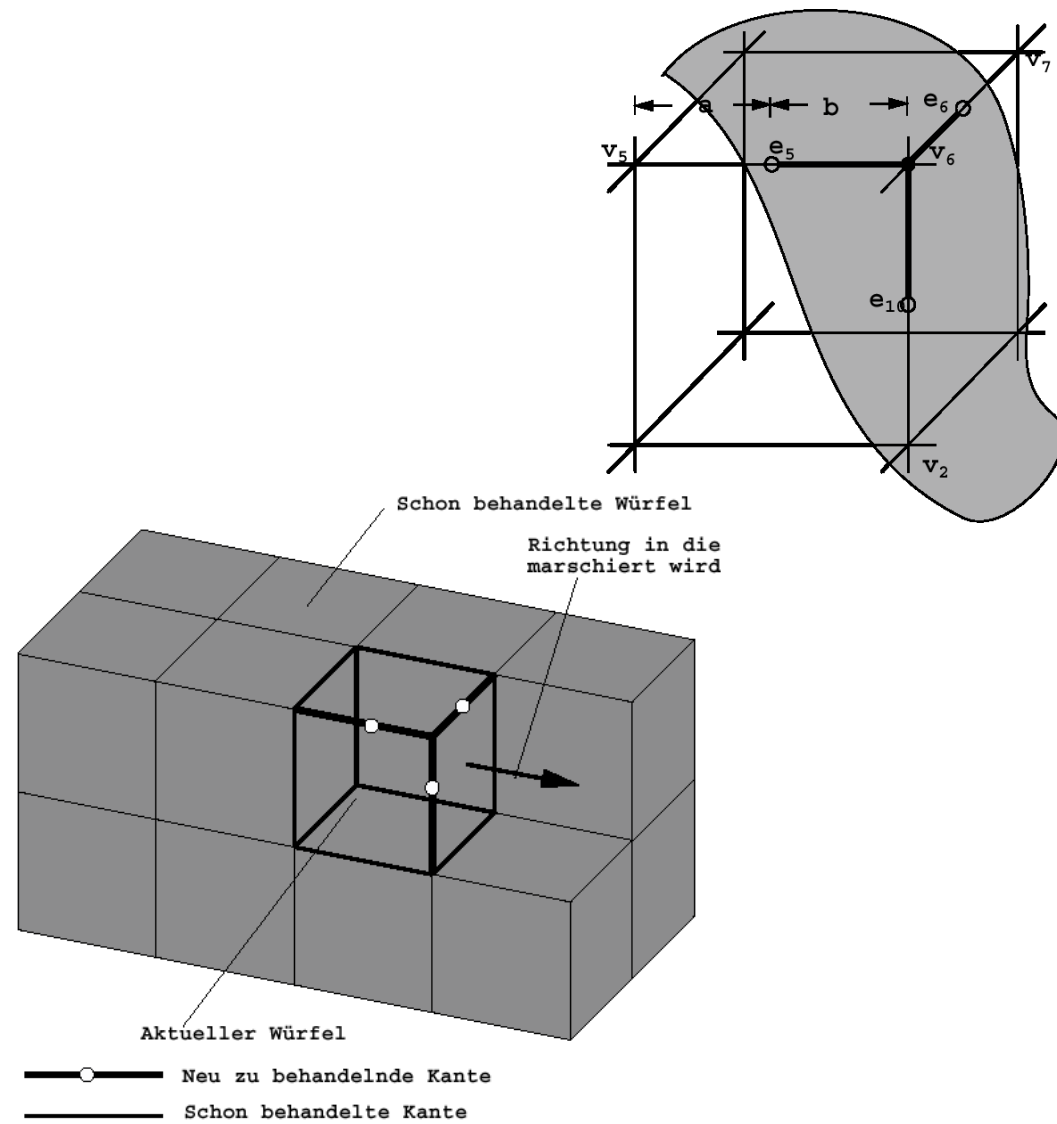
# Marching Cubes

6. Calculer la position des sommets par interpolation

$$\mathbf{v}_s = t\mathbf{v}_a + (1 - t)\mathbf{v}_b$$

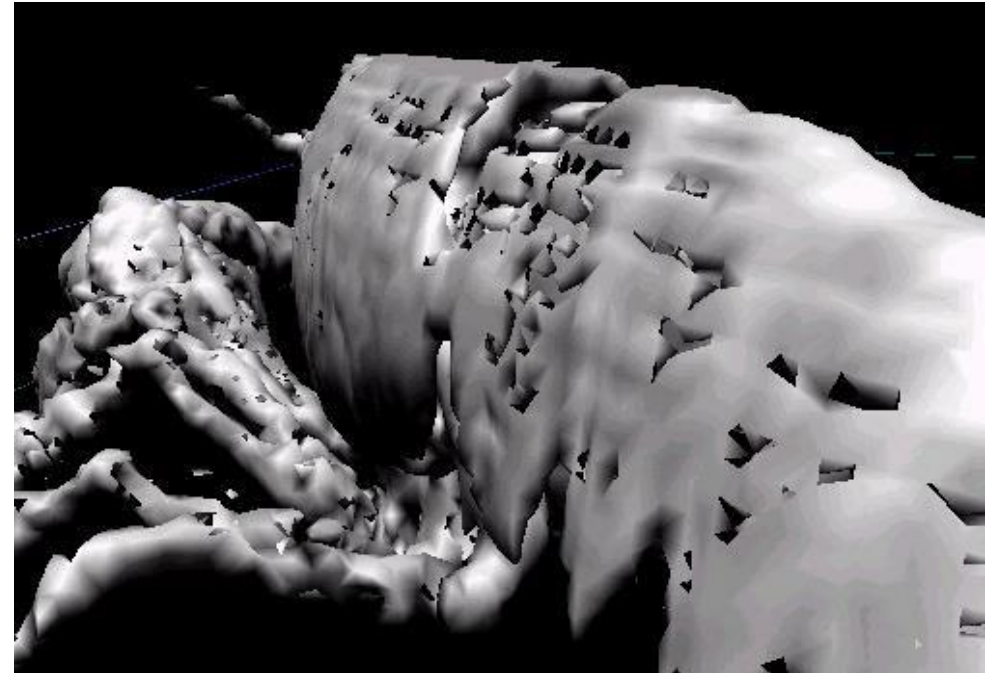
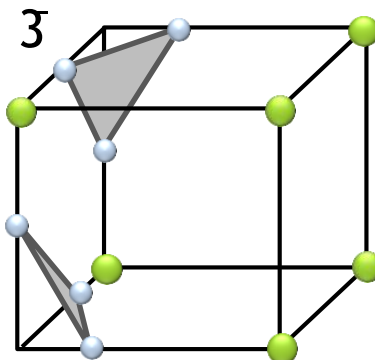
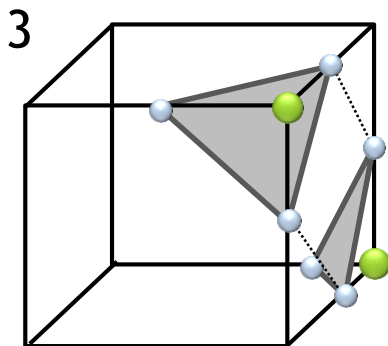
$$t = \frac{F(\mathbf{v}_b)}{F(\mathbf{v}_b) - F(\mathbf{v}_a)}$$

7. Passer au cube suivant



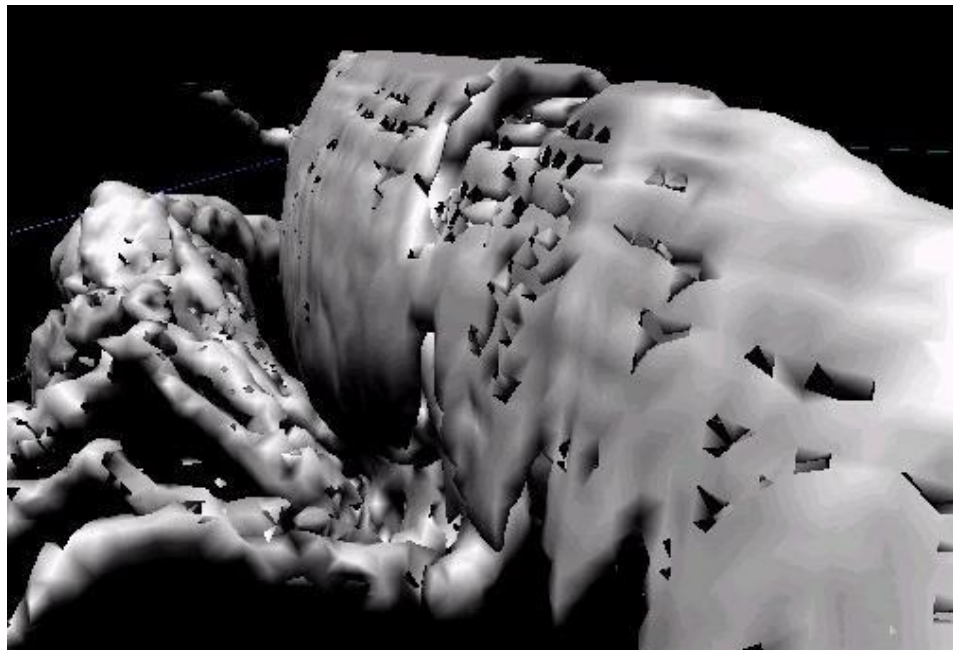
# Marching Cubes - Problems

- Have to make consistent choices for neighboring cubes - otherwise get holes

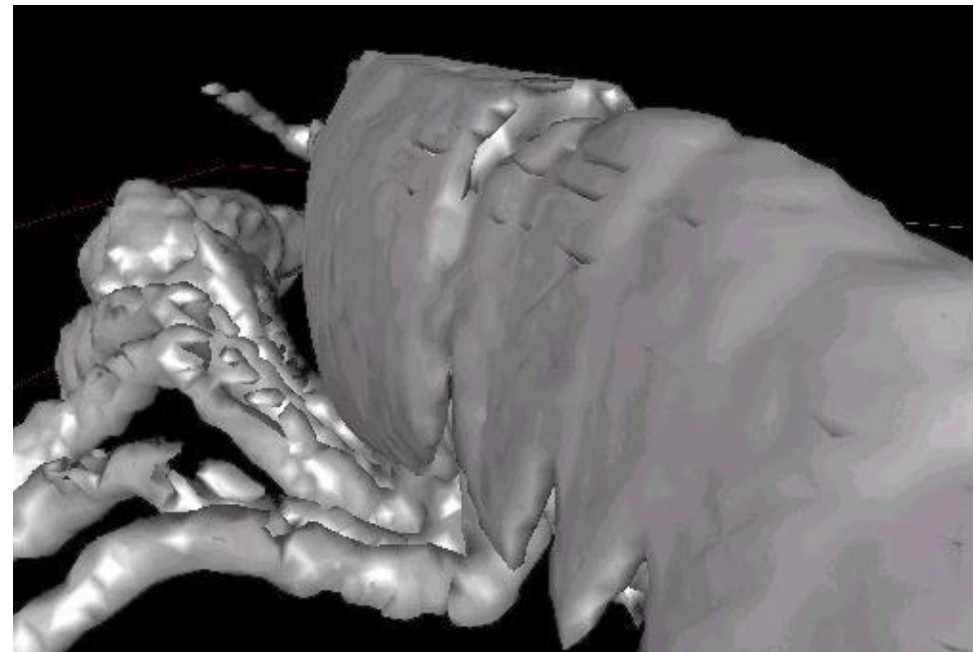


# Marching Cubes - Problèmes

- Résolution des ambiguïtés



Ambiguity



No Ambiguity

# Alternating Direction Method of Multipliers (ADMM)

**Problème:**

$$\begin{aligned} & \text{minimize} && f(x) + g(z) \\ & \text{subject to} && Ax + Bz = c \end{aligned}$$

**Lagrangien augmenté :**

$$L_\rho(x, z, y) = f(x) + g(z) + y^T(Ax + Bz - c) + (\rho/2)\|Ax + Bz - c\|_2^2$$

**Étapes:**  $x^{k+1} := \underset{x}{\operatorname{argmin}} L_\rho(x, z^k, y^k)$

$$z^{k+1} := \underset{z}{\operatorname{argmin}} L_\rho(x^{k+1}, z, y^k)$$

$$y^{k+1} := y^k + \rho(Ax^{k+1} + Bz^{k+1} - c)$$

Requiert une leçon, mais vous pouvez me croire...

# ADMM formulation de Sparse ICP

$(R, t) = \operatorname{argmin} \sum_i \|R \cdot p_i + t - q_i\|^p$  est reformulé :

$(R, t) = \operatorname{argmin} \sum_i \|z_i\|^p \quad s.t. \quad z_i = R \cdot p_i + t - q_i$

Lagrangien augmenté :  $L = \sum_i \|z_i\|^p + y_i^T \cdot (R \cdot p_i + t - q_i - z_i) + \rho/2 \|R \cdot p_i + t - q_i - z_i\|^2$

# ADMM formulation de Sparse ICP

$$(R, t) = \operatorname{argmin} \sum_i \|R \cdot p_i + t - q_i\|^p \quad \text{est reformulé :}$$

$$(R, t) = \operatorname{argmin} \sum_i \|z_i\|^p \quad s.t. \quad z_i = R \cdot p_i + t - q_i$$

**Lagrangien augmenté :** 
$$L = \sum_i \|z_i\|^p + y_i^T \underbrace{(R \cdot p_i + t - q_i - z_i)}_{:= b} + \rho/2 \|R \cdot p_i + t - q_i - z_i\|^2$$

**Itérer:**

- a)  $z = \operatorname{argmin} L$ . Vous pouvez vérifier que :  $L = \sum_i \|z_i\|^p + \rho/2 \|z_i - (b + y_i/\rho)\|^2 + const$   
→ Solution analytique indépendante (« shrink opérateur », voir papier)

# ADMM formulation de Sparse ICP

$(R, t) = \operatorname{argmin} \sum_i \|R \cdot p_i + t - q_i\|^p$  est reformulé :

$(R, t) = \operatorname{argmin} \sum_i \|z_i\|^p \quad s.t. \quad z_i = R \cdot p_i + t - q_i$

Lagrangien augmenté :  $L = \sum_i \|z_i\|^p + y_i^T \underbrace{(R \cdot p_i + t - q_i - z_i)}_{:= b} + \rho/2 \|R \cdot p_i + t - q_i - z_i\|^2$

Itérer:

- $z = \operatorname{argmin} L$ . Vous pouvez vérifier que :  $L = \sum_i \|z_i\|^p + \rho/2 \|z_i - (b + y_i/\rho)\|^2 + const$   
→ Solution analytique indépendante (« shrink opérateur », voir papier)
- $(R, t) = \operatorname{argmin} L$ . N'implique que des termes quadratiques → Procustes classique

# ADMM formulation de Sparse ICP

$(R, t) = \operatorname{argmin} \sum_i \|R \cdot p_i + t - q_i\|^p$  est reformulé :

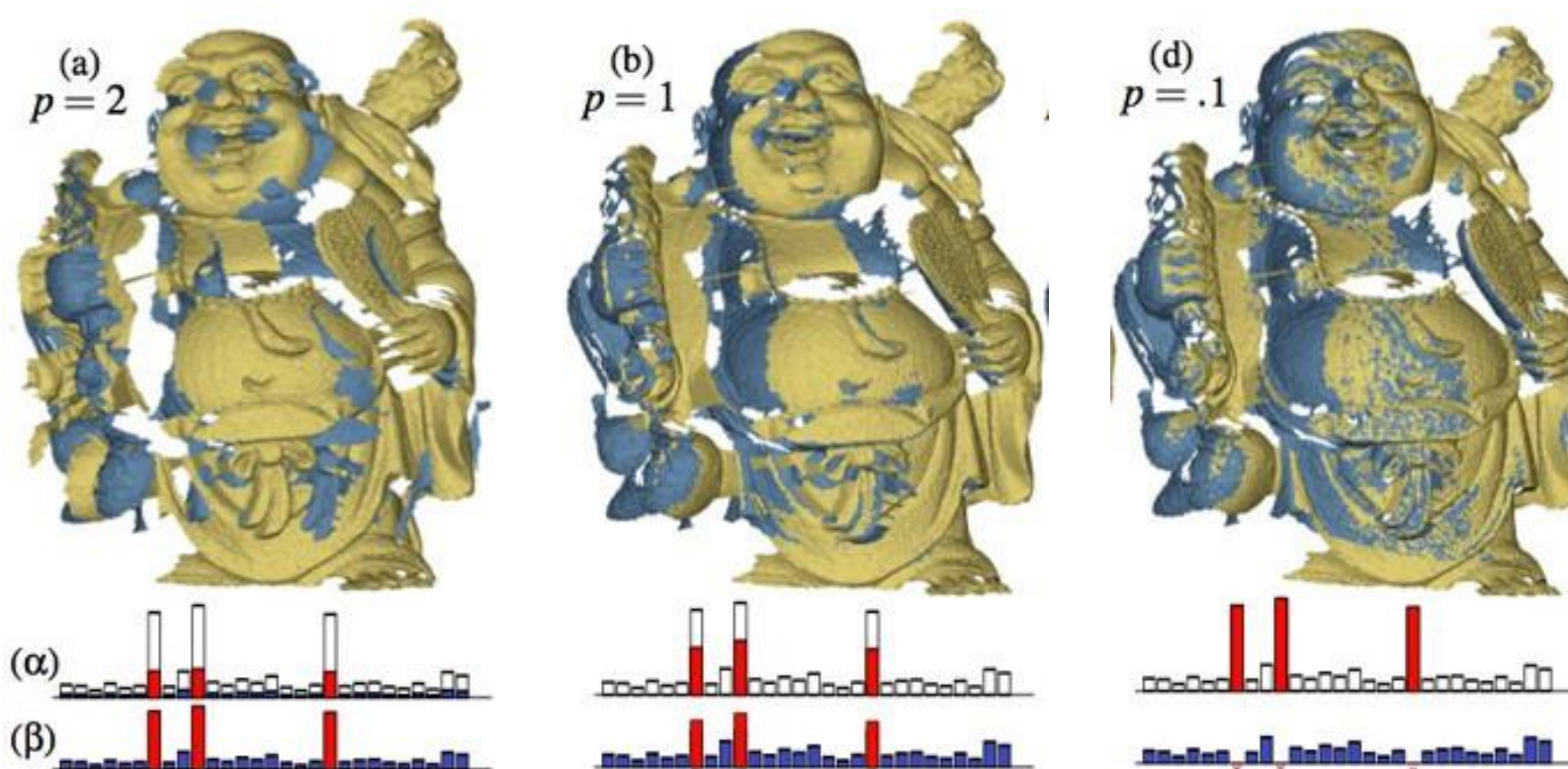
$(R, t) = \operatorname{argmin} \sum_i \|z_i\|^p \quad s.t. \quad z_i = R \cdot p_i + t - q_i$

Lagrangien augmenté :  $L = \sum_i \|z_i\|^p + y_i^T \underbrace{(R \cdot p_i + t - q_i - z_i)}_{:= b} + \rho/2 \|R \cdot p_i + t - q_i - z_i\|^2$

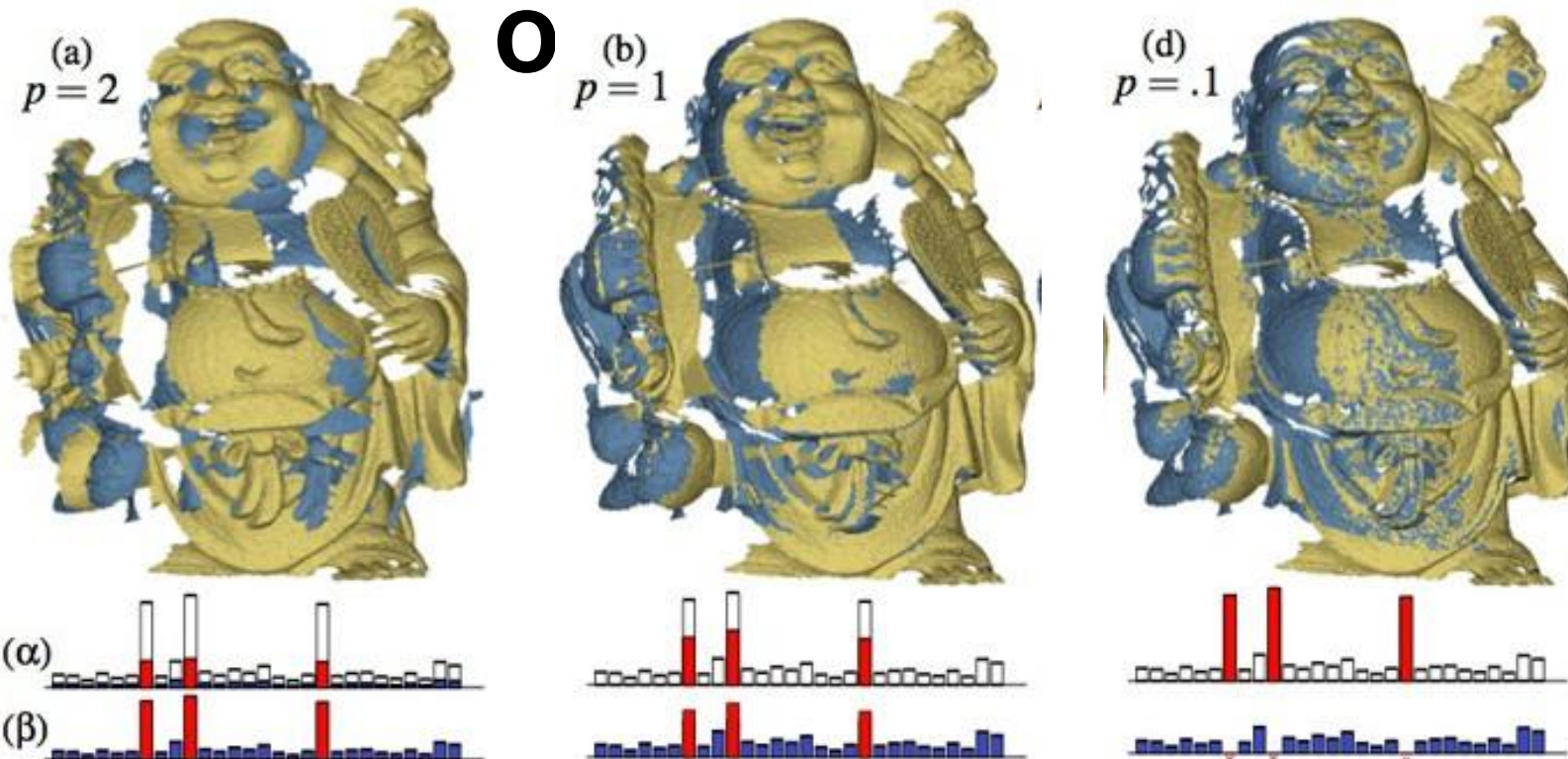
Itérer:

- a)  $z = \operatorname{argmin} L$ . Vous pouvez vérifier que :  $L = \sum_i \|z_i\|^p + \rho/2 \|z_i - (b + y_i/\rho)\|^2 + const$   
→ Solution analytique indépendante (« shrink opérateur », voir papier)
- b)  $(R, t) = \operatorname{argmin} L$ . N'implique que des termes quadratiques → Procustes classique
- c)  $y_i := y_i + \rho(R \cdot p_i + t - q_i - z_i)$

# Application : « Sparse » ICP

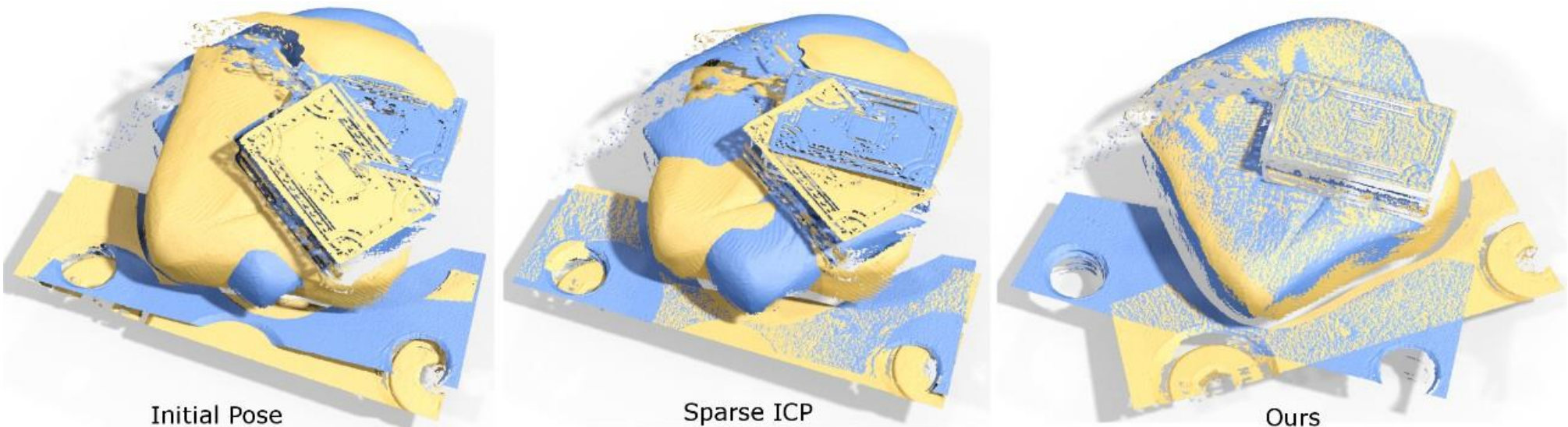


# Vidéo dém



<https://www.youtube.com/watch?v=ii2vHBwlmo8>

# Sparse ICP : optimisation



- ADMM est un couteau suisse, MAIS :
- Minima locaux
- Il y a souvent mieux !
- Comme la: Combiner ADMM avec un simple recuit simulé

[Mavridis et al. 2015] : Efficient Sparse ICP

# Efficient sparse ICP

